

Elipsometrija tankih slojeva organskih poluvodiča

Marta Nikić

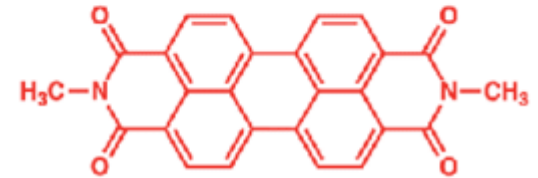
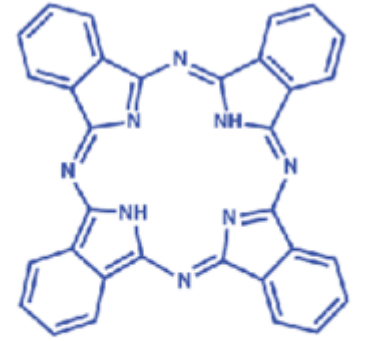
Mentor: dr. sc. Jordi Sancho Parramon

Laboratorij za optiku i optički tanke slojeve

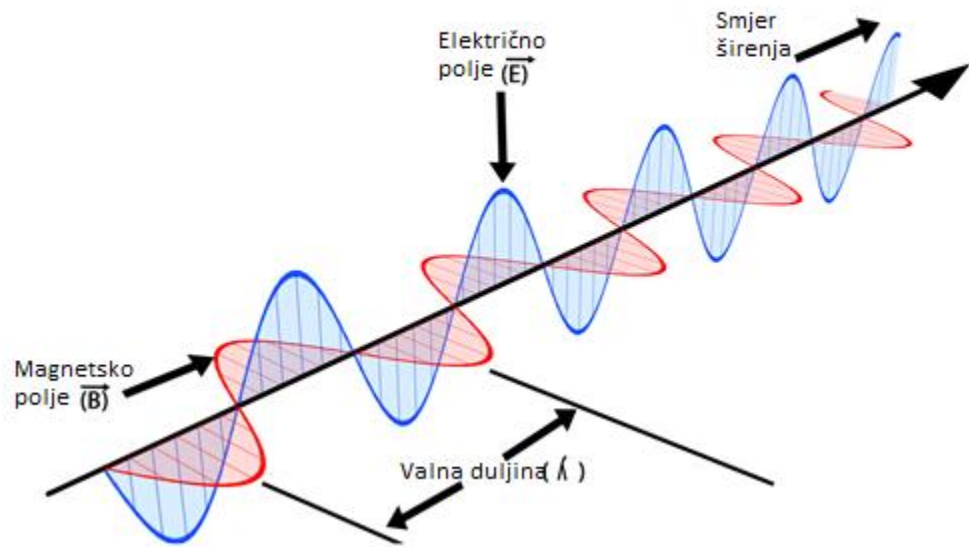
Institut Ruđer Bošković

Ciljevi

- Određivanje optičkih svojstva H_2Pc -a i PTCDI-a
 - Dielektrična funkcija
- Utjecaj temperature; $20^\circ C$ ili $-160^\circ C$?
- Debljina?
- Hrapavost?
- Rad uređaja?

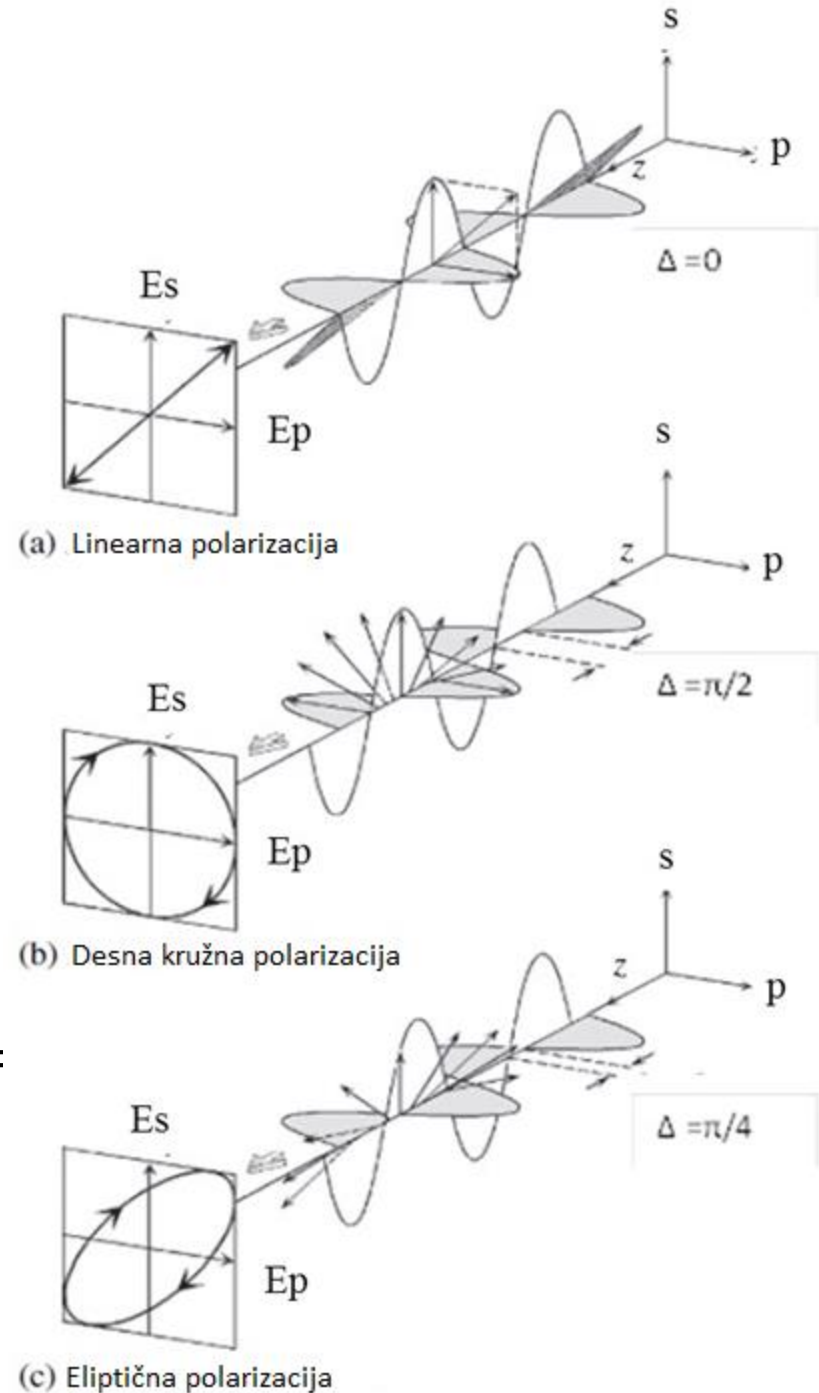


EM ravni val i polarizacija svjetlosti



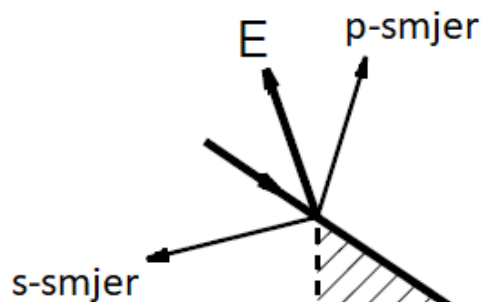
$$\vec{E} =$$

$$\vec{E}(\vec{r}, t) = \vec{E}_0 \exp\left(\frac{i2\pi\tilde{n}}{\lambda} \vec{q} \cdot \vec{r}\right) \exp(-i\omega t)$$

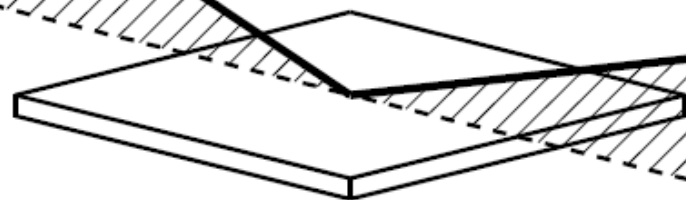


Što je elipsometrija?

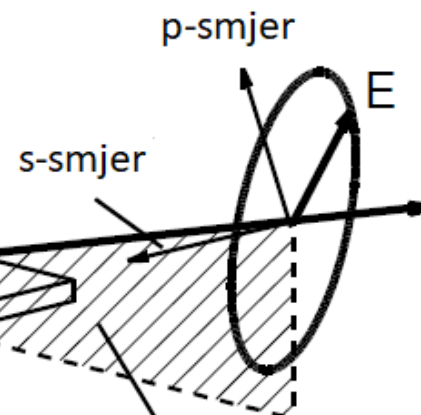
1. Linearno polarizirana svjetlost...



2. Refleksija od površine...



3. Eliptično polarizirana svjetlost!



Upadna ravnina

$$\vec{E} = \begin{bmatrix} \tilde{E}_p \\ \tilde{E}_s \end{bmatrix}$$

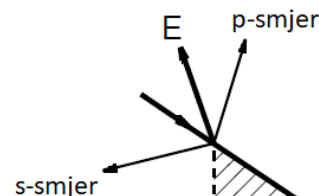
Što elipsometar mjeri?

- Promjena polarizacijskog stanja svjetlosti reflektirane s površine uzorka
- Mjerenje vrijednosti se izražavaju preko psi ψ i delta Δ varijabli

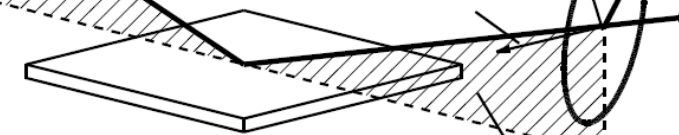
$$\tilde{\rho} = \frac{\tilde{R}_p}{\tilde{R}_s} = \tan \psi e^{i\Delta}$$

$$\vec{E} = \begin{bmatrix} \tilde{E}_p \\ \tilde{E}_s \end{bmatrix}$$

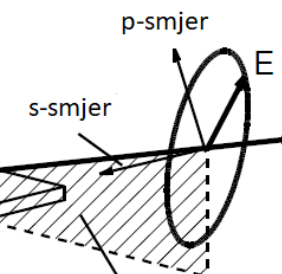
1. *Linearno polarizirana svjetlost...*



2. *Refleksija od površine...*



3. *Eliptično polarizirana svjetlost!*

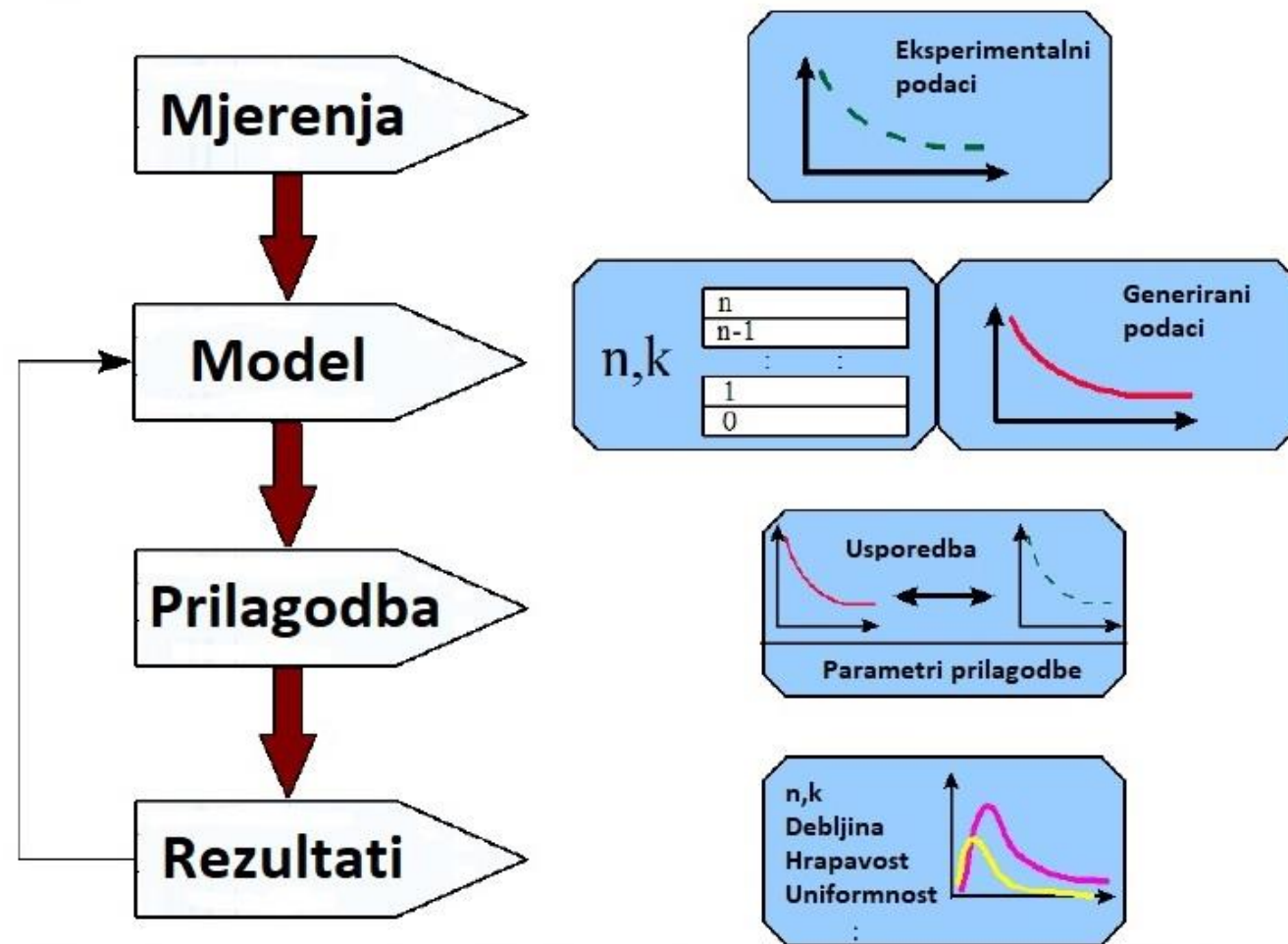


Upadna ravnina

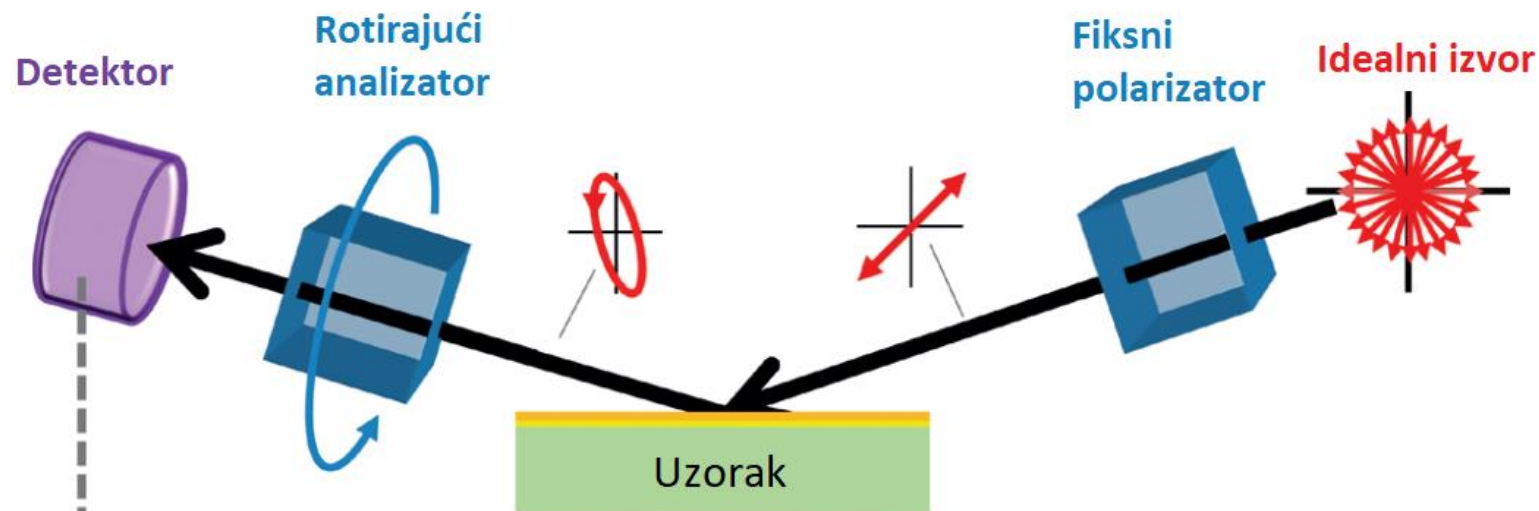
Koji se parametri mogu odrediti?

- Optičke konstante (n , k or ϵ_1 , ϵ_2)
- Debljina tankog sloja
- Koncentracija dopiranja
- Površinska ili između slojeva hrapavost
- Optička anizotropija

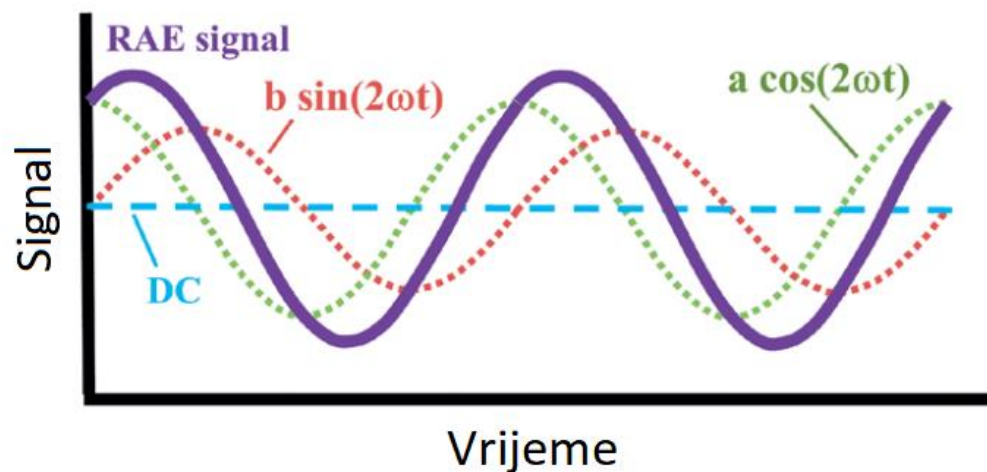
Generalna procedura za optičke eksperimente



Elipsometar s rotirajućim analizatorom



$$\tilde{\rho} = \frac{\tilde{R}_p}{\tilde{R}_s} = \tan \psi e^{i\Delta}$$

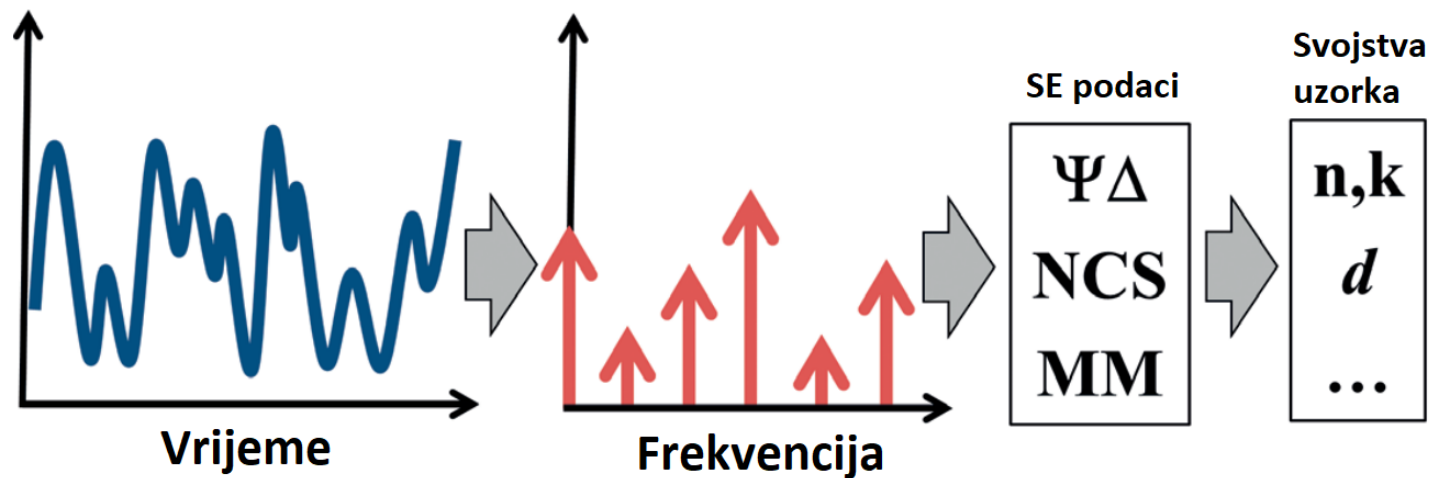
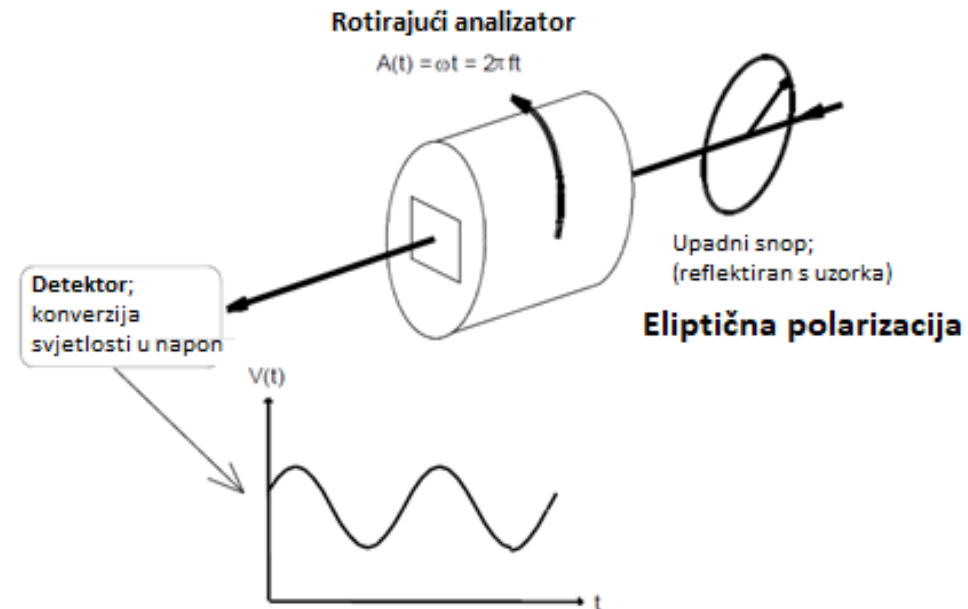


Mjerenja polarizacije

$$V(t) = DC + a \cdot \cos(2\omega t) + b \cdot \sin(2\omega t)$$

$$\alpha = \frac{a}{DC} = \frac{\tan^2(\psi) - \tan^2(P)}{\tan^2(\psi) + \tan^2(P)}$$

$$\beta = \frac{b}{DC} = \frac{2 \tan(\psi) \cos(\Delta) \tan(P)}{\tan^2(\psi) + \tan^2(P)}$$



Još malo matematike...

$$\alpha = \frac{a}{DC} = \frac{\tan^2(\psi) - \tan^2(P)}{\tan^2(\psi) + \tan^2(P)}$$

$$\beta = \frac{b}{DC} = \frac{2 \tan(\psi) \cos(\Delta) \tan(P)}{\tan^2(\psi) + \tan^2(P)}$$



$$\tan \psi = \sqrt{\frac{1 + \alpha}{1 - \alpha}} |\tan P|$$

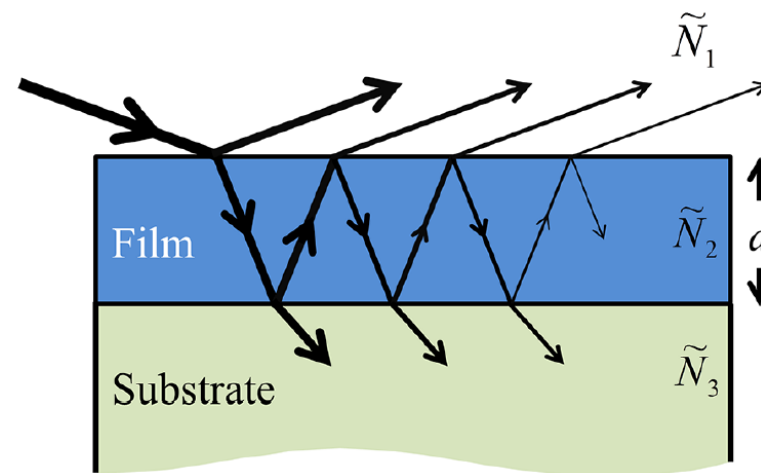
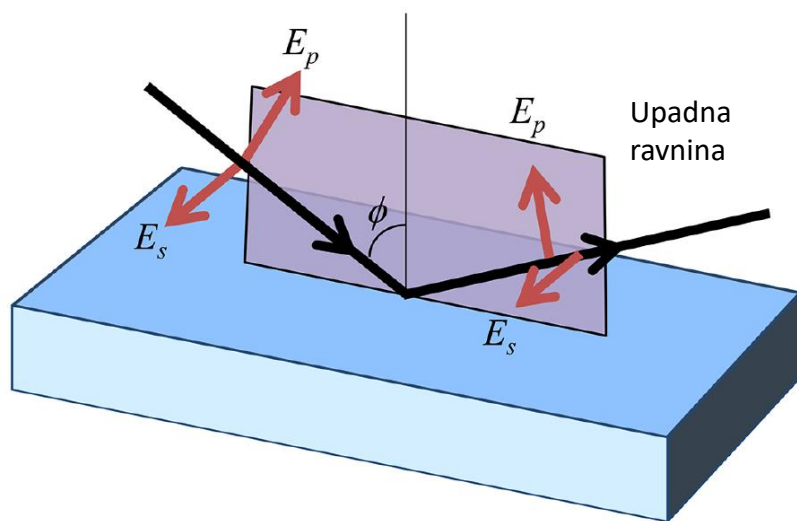
$$\cos \Delta = \frac{\beta}{\sqrt{1 - \alpha^2}} \cdot \frac{\tan P}{|\tan P|}$$

$$\tilde{\rho} = \frac{\tilde{R}_p}{\tilde{R}_s} = \tan \psi e^{i\Delta}$$



Fresnelovi koeficijenti → optička svojstva?

$$\tan \psi e^{i\Delta} = \frac{\tilde{R}_p}{\tilde{R}_s} \rightarrow n, k \text{ ili } \varepsilon_1, \varepsilon_1?$$



$$r_{p,12} = \frac{E_p^{refl}}{E_p^{inc}} = \frac{\tilde{n}_2 \cos \Phi_1 - \tilde{n}_1 \cos \Phi_2}{\tilde{n}_2 \cos \Phi_1 + \tilde{n}_1 \cos \Phi_2}$$

$$r_{s,12} = \frac{E_s^{refl}}{E_s^{inc}} = \frac{\tilde{n}_1 \cos \Phi_1 - \tilde{n}_2 \cos \Phi_2}{\tilde{n}_1 \cos \Phi_1 + \tilde{n}_2 \cos \Phi_2}$$

$$R_s = \frac{r_{s,12} + r_{s,23} e^{-i2\beta}}{1 + r_{s,12} r_{s,23} e^{-i2\beta}}$$

$$R_p = \frac{r_{p,12} + r_{p,23} e^{-i2\beta}}{1 + r_{p,12} r_{p,23} e^{-i2\beta}}$$

$$\beta = 2\pi \frac{d}{\lambda} \tilde{n}_2 \cos \Phi_2$$

Regresijska analiza optičkih podataka

- Levenberg-Marquardt algoritam
- Maksimalan procijenitelj vjerovatnosti → srednja kvadratna pogreška, MSE

$$MSE = \sqrt{\frac{1}{2N - M} \sum_{i=1}^N \left[\left(\frac{\psi_i^{mod} - \psi_i^{exp}}{\sigma_{\psi,i}^{exp}} \right)^2 + \left(\frac{\Delta_i^{mod} - \Delta_i^{exp}}{\sigma_{\Delta,i}^{exp}} \right)^2 \right]}$$

N = number of (ψ, Δ) pairs

M = number of parameters in the model

σ = standard deviations on the experimental data points

Što su optičke konstante?

- Parametri koji karakteriziraju ponašanje materijala u prisutnosti vanjskoj EM vala

$$\vec{P} = \widetilde{\chi}_e \varepsilon_0 \vec{E}$$

$$\vec{D} = (1 + \widetilde{\chi}_e) \varepsilon_0 \vec{E} = \tilde{\varepsilon} \vec{E} \longrightarrow \text{Koliko je materijal polarizabilan}$$

$$\tilde{\varepsilon} \equiv (1 + \widetilde{\chi}_e) \varepsilon_0 = \tilde{\varepsilon}_r \varepsilon_0$$

$$\vec{E}(\vec{r}, t) = \vec{E}_0 \exp\left(\frac{i2\pi\tilde{n}}{\lambda} \vec{q} \cdot \vec{r}\right) \exp(-i\omega t)$$

$$\tilde{n} = n - ik$$

$$\tilde{\varepsilon} = \varepsilon_1 - i\varepsilon_2$$

$$\tilde{\varepsilon} = \tilde{n}^2$$

Prijelazi elektrona iz osnovnog u pobuđeno stanje određuju imaginarni dio dielektrične funkcije!

Kramers-Kronig relacija

$$\varepsilon_1(E) - 1 = \frac{2}{\pi} P \int_0^{\infty} \frac{E' \varepsilon_2(E')}{E'^2 - E^2} dE'$$

$$\varepsilon_2(\omega) = \frac{\sigma(\omega)}{\omega} \quad \sigma(\omega) = e\mu n$$

$$\varepsilon_2 \propto n$$

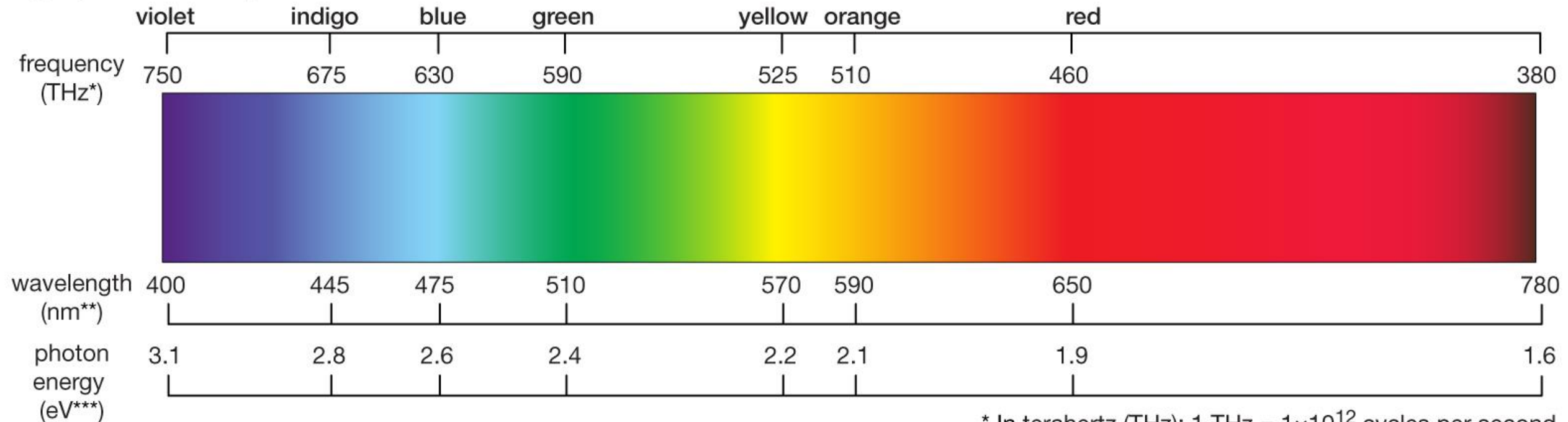
Optička svojstva svih materijala određena su u potpunosti tipom i jakošću optičke apsorpcije koja se dogodi u materijalu

Osnovni mehanizmi kojima se energija svjetlosnog snopa apsorbira u materijalu:

- ★ Intervrpčana apsorpcija
- ★ Intravrpčana apsorpcija
- ★ Apsorpcija slobodnih nosioca naboja

Vidljivi dio spektra

Light, the visible spectrum

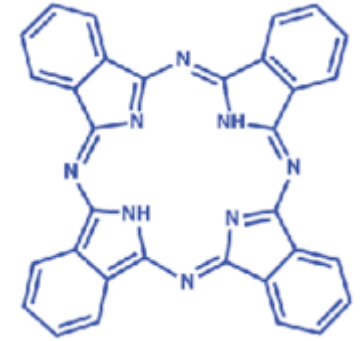


* In terahertz (THz); $1 \text{ THz} = 1 \times 10^{12}$ cycles per second.

** In nanometres (nm); $1 \text{ nm} = 1 \times 10^{-9}$ metre.

*** In electron volts (eV).

H₂Pc – bezmetalni pftalocijanin



- 2 kristalne faze; α i β
- Dvije apsorpcijske vrpce mogu se zapaziti, vrpca blizu **2 eV** (620 nm; Q vrpca) i jedna blizu **3.5 eV** (350 nm; B ili Soret vrpca)
- Obje vrpce pridjeljene su π - π^* pobuđenjima makrocikličkog π sistema sastavljenog od C i N atoma

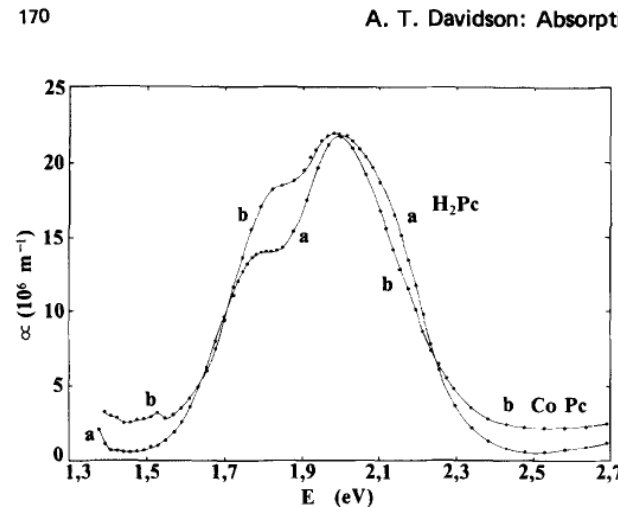


FIG. 3. The visible absorption spectra of (a) H₂Pc ($\lambda = 175$ nm) and (b) CoPc ($\lambda = 100$ nm) films.

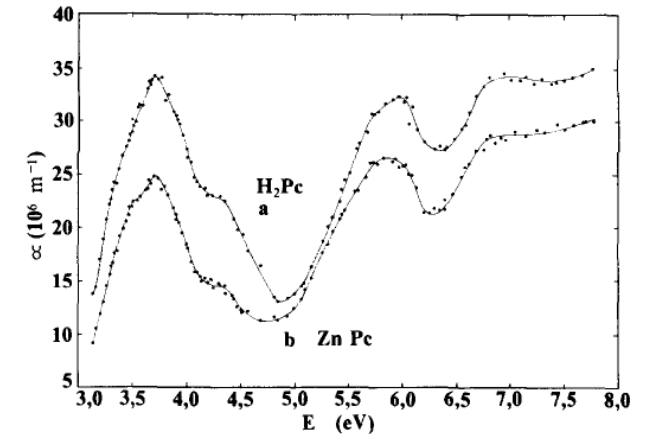


FIG. 5. The absorption spectra between 3.1 and 7.8 eV for (a) H₂Pc ($\lambda = 25$ nm) and (b) ZnPc ($\lambda = 40$ nm) films.

J. Chem. Phys. 77, 168 (1982); doi: 10.1063/1.443636

TABLE I. Maxima (in eV) seen in the absorption spectra of phthalocyanine films. The main peak in each band is underlined. nr means not resolved.

Compound	Visible (Q)	Soret (B)	Variable (V)	(C)	Far UV band
H ₂ Pc	1.79 <u>2.00</u>	3.33 3.53 <u>3.74</u>	<u>4.29</u>	5.66 <u>5.93</u>	6.94 nr

PTCDI – N,N'-dimetilperilen-3,4:9,10-tetrakarbonsilni diimid

- PTCDI ima područje apsorpcije centrirano pri 494 nm (2.5 eV) i pri 580 nm (2.14 eV).
- Q vrpca: jedno rame pri 2.5 eV (π - π^* pobuđenje), jedan maksimum pri 2.14 eV (vrh ekscitona)
- B vrpca : pri 3.35 eV ; π - π^* pobuđenje
- N vrpca: Slaba apsorpcija pri 4~4.75 eV (izmjena naboja (CT) iz sp_z mješane orbitale u elektronski sistem makroskopskog prstena PTCDI-a)
- C vrpca: pri 5.6 eV ; π - π^* pobuđenje

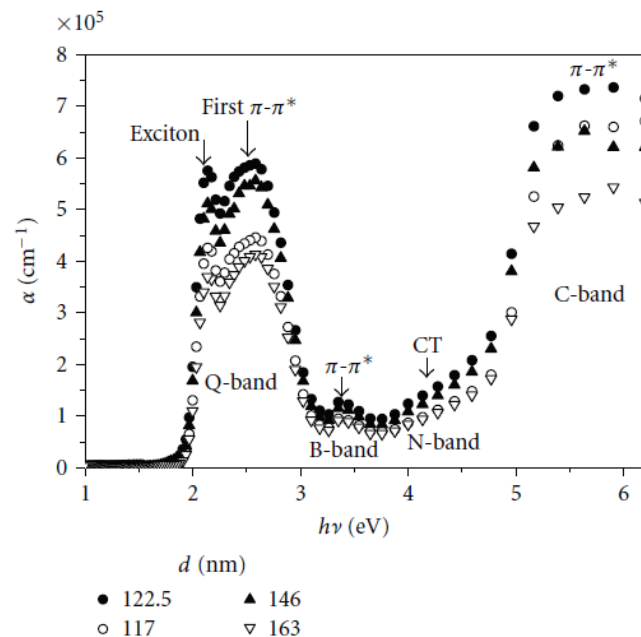
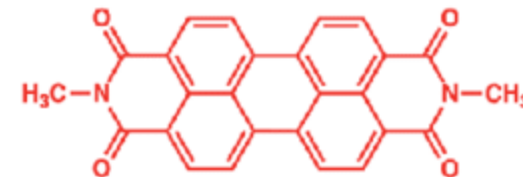


FIGURE 8: Optical absorption spectra of PTCDI thin films.

M. M. El-Nahas, H. Abdel-Khalek, E. Salem, "Structural and Optical Properties of Nanocrystalline 3,4,9,10-Perylene-Tetracarboxylic-Diimide Thin Film,,
<https://doi.org/10.1155/2012/698934>

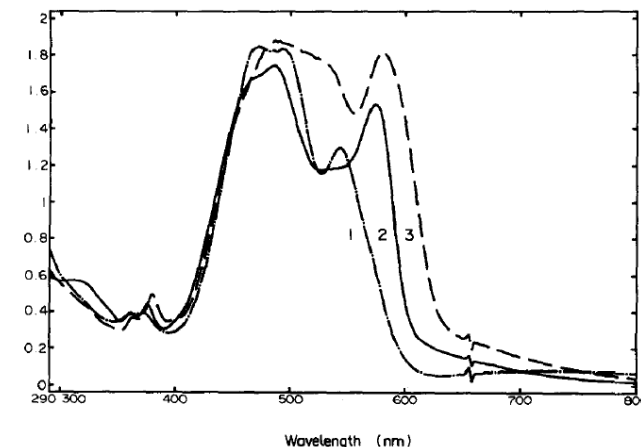
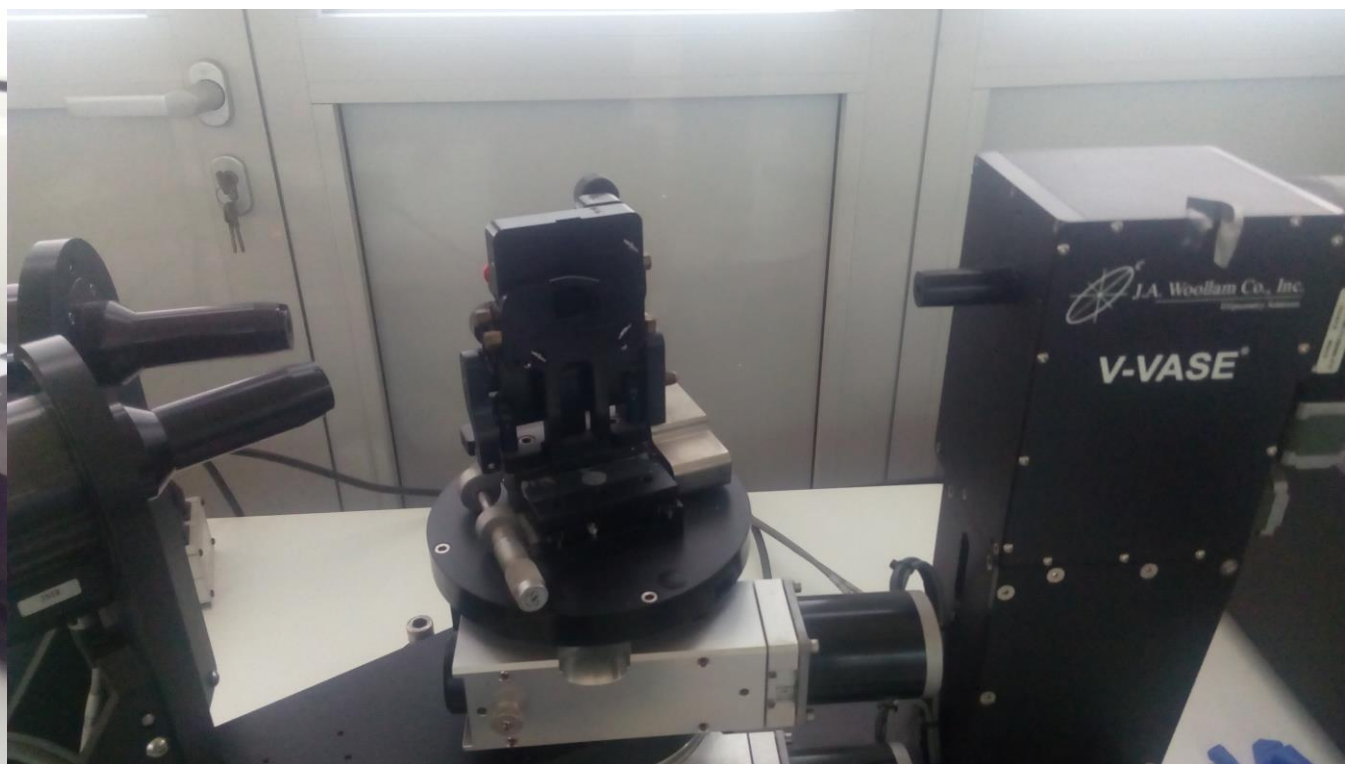
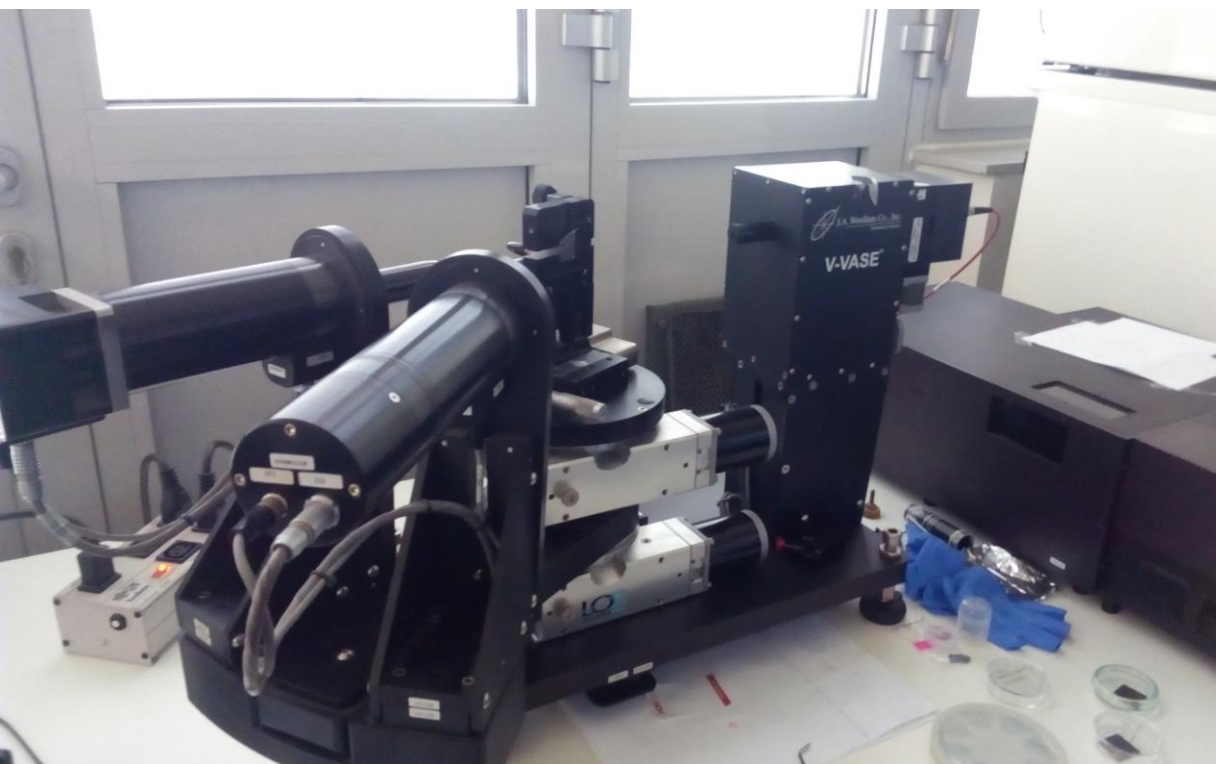


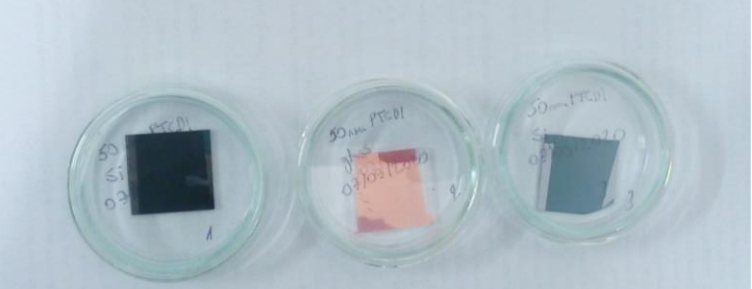
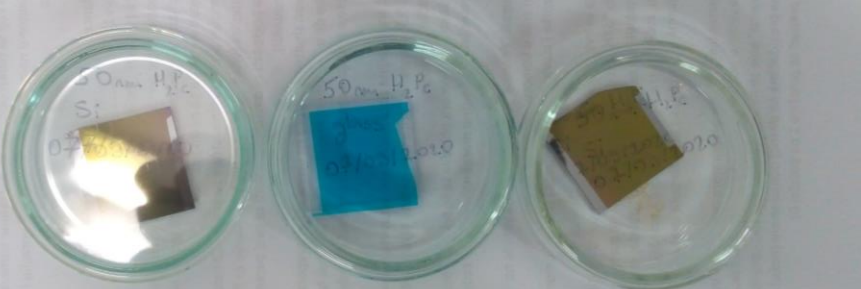
Fig. 1. Absorption spectra of PTCDPh (1), PTCDMe (2) and PTCDI (3).

Kelly. Akers, Ricardo. Aroca, Ah Mee. Hor, and Rafik O. Loutfy
 The Journal of Physical Chemistry
 1987 91 (11), 2954-2959
 DOI: 10.1021/j100295a061

W-VASE elipsometar

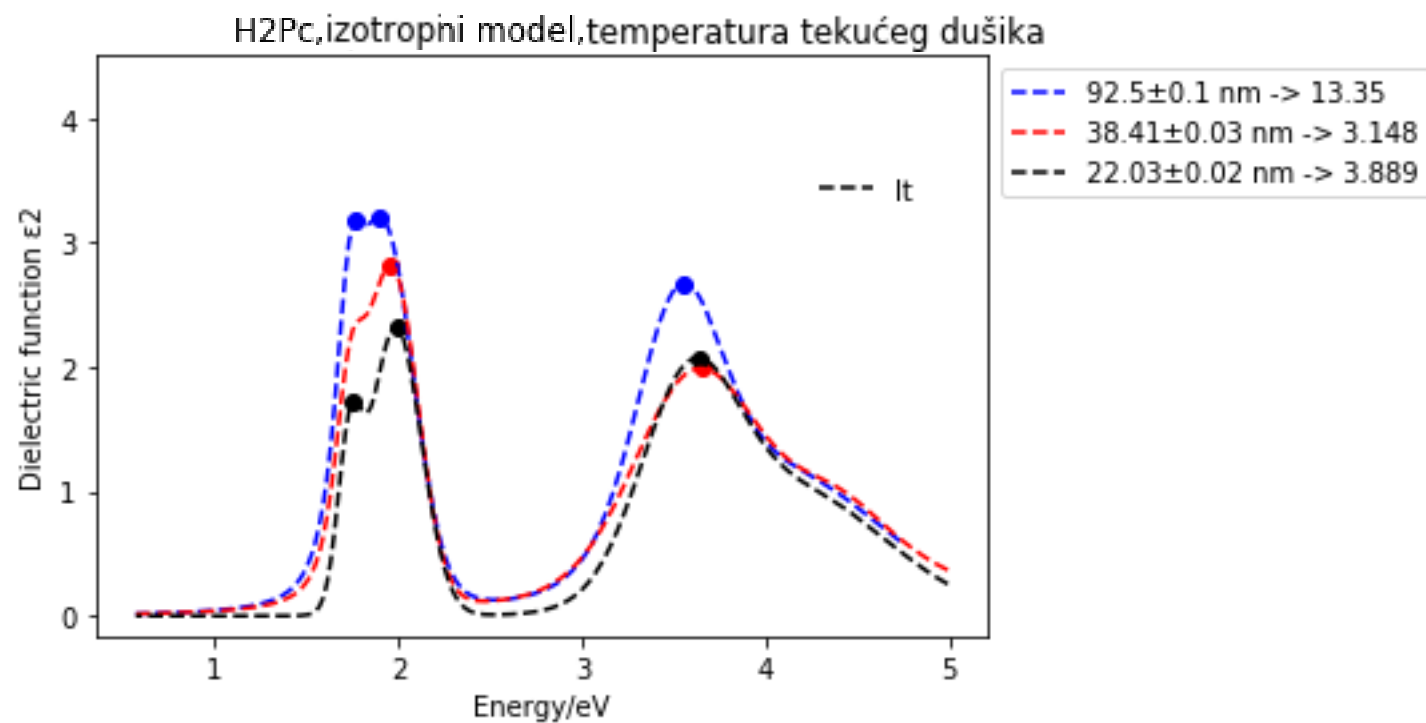
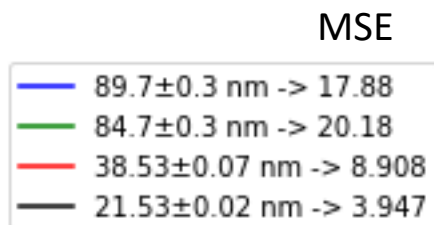
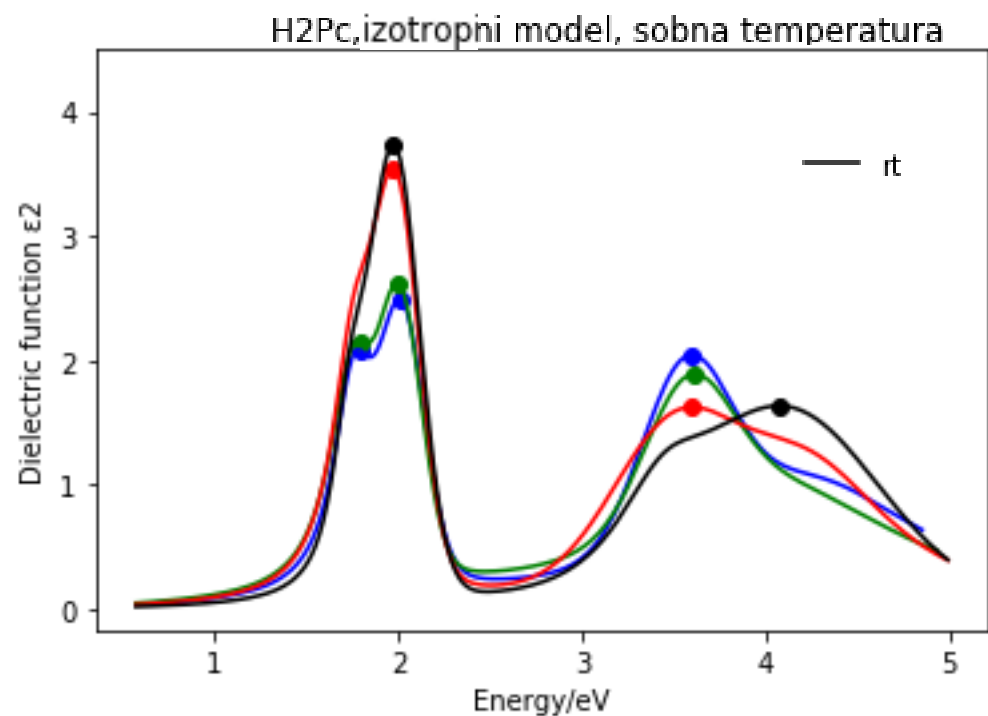


Termalna evaporacija

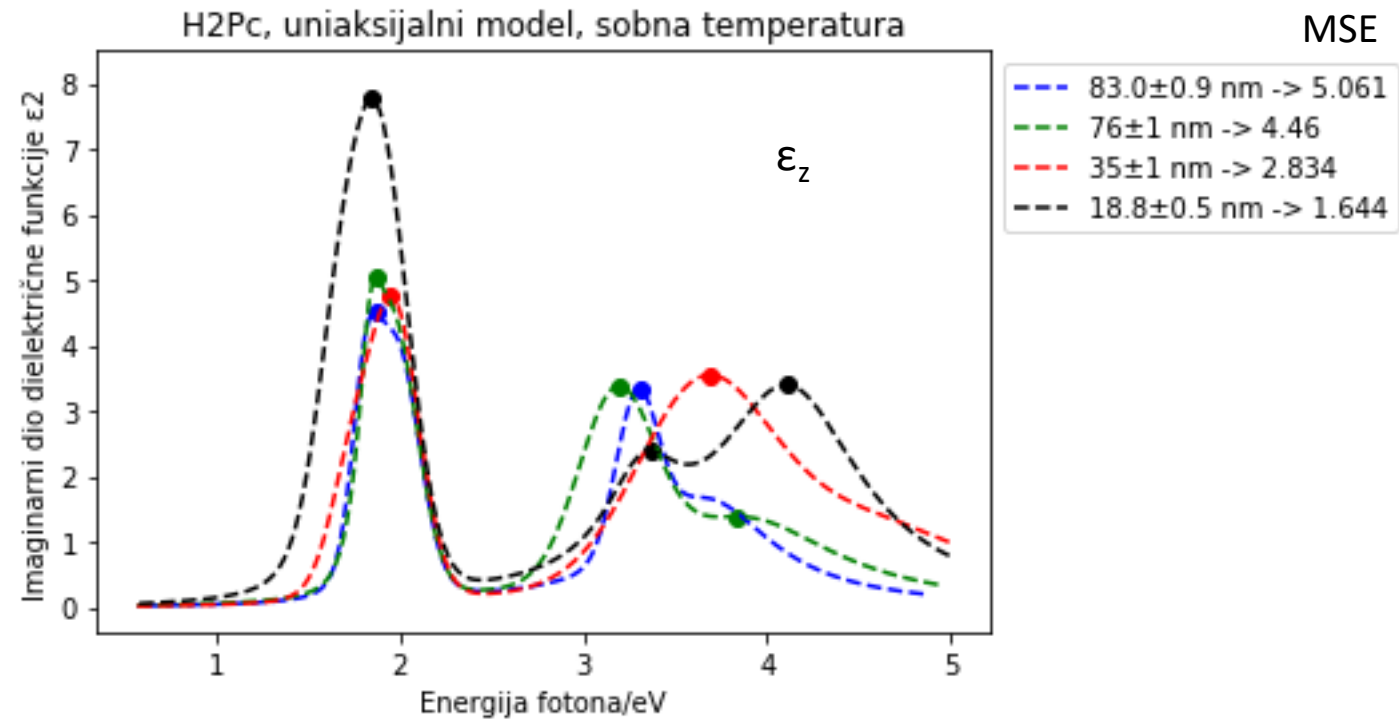
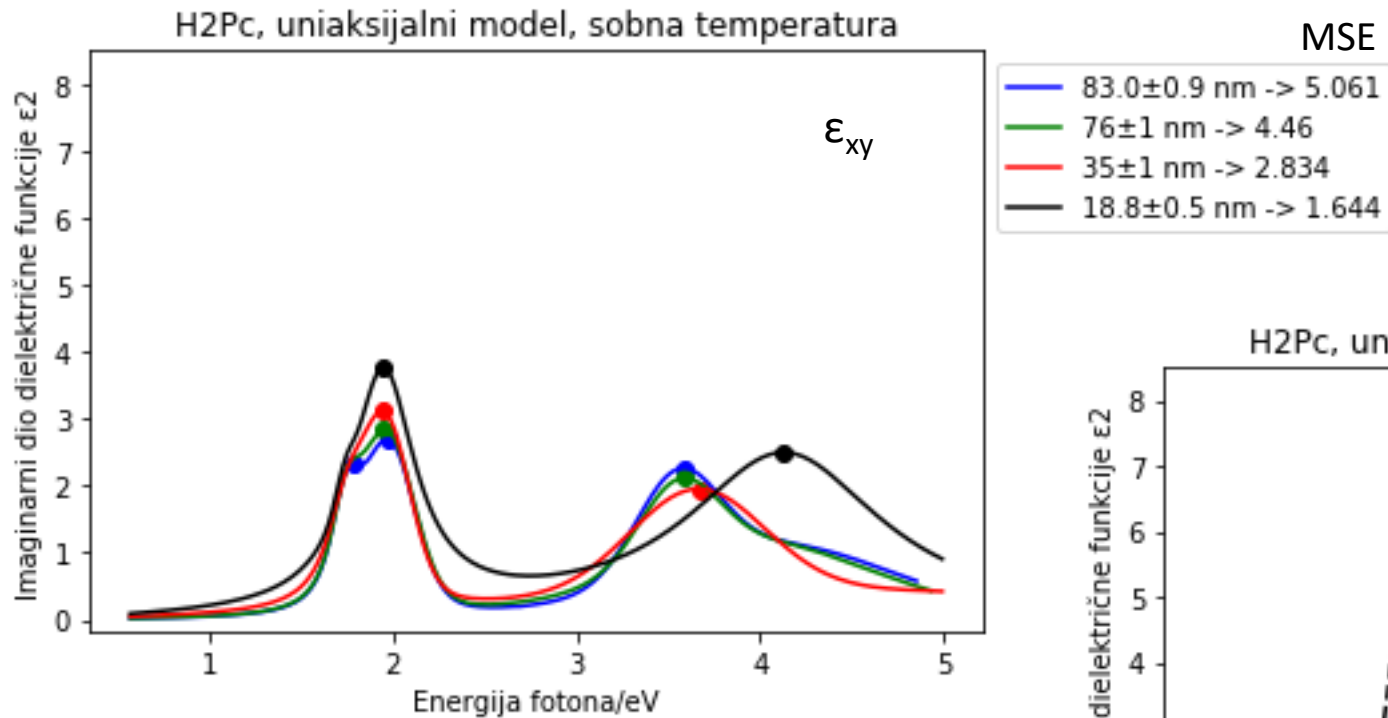


Rezultati mjerenja
(modeliranja)

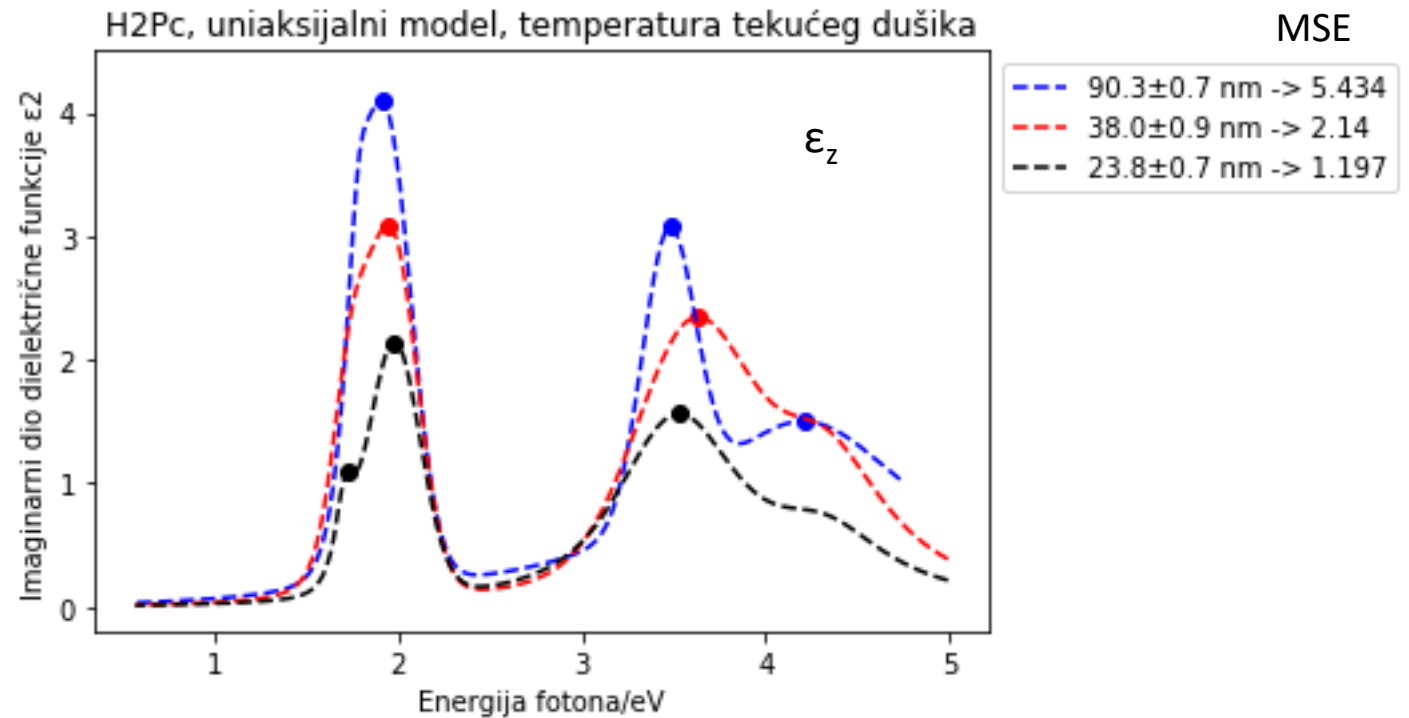
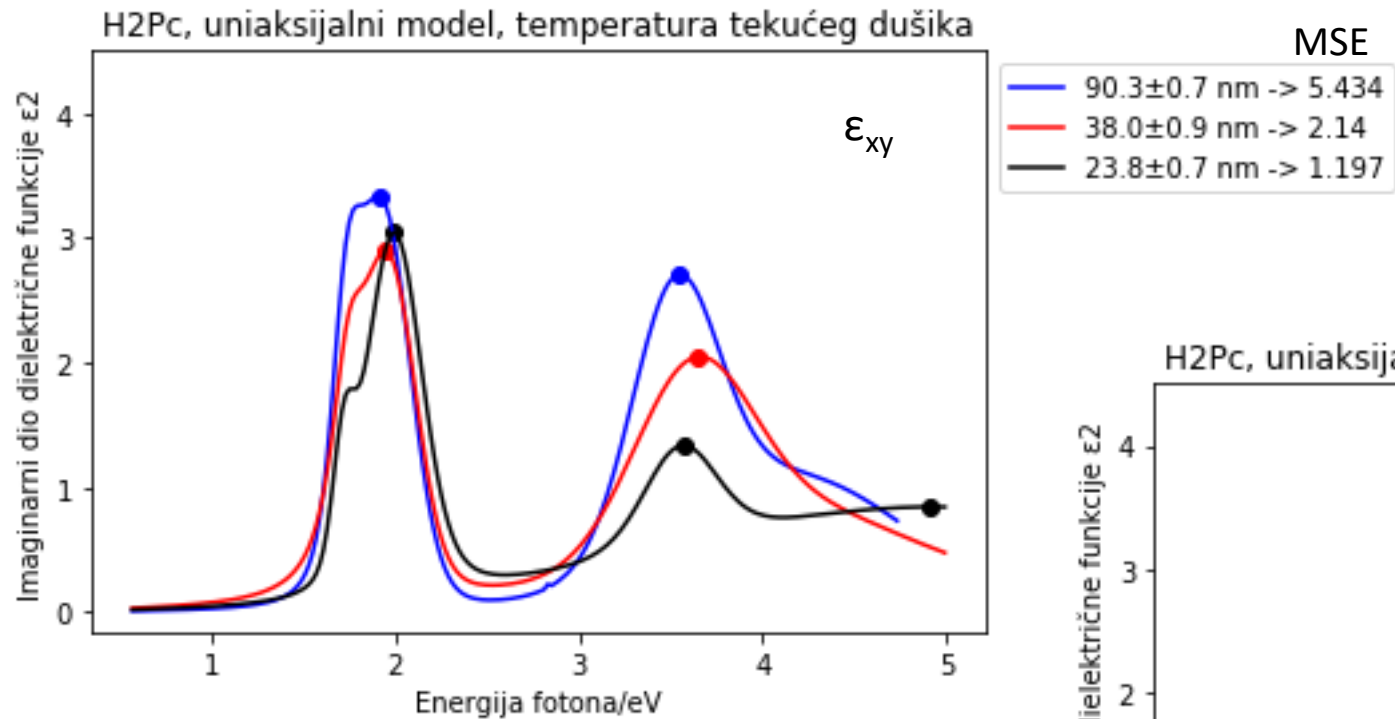
H₂Pc, izotropni model



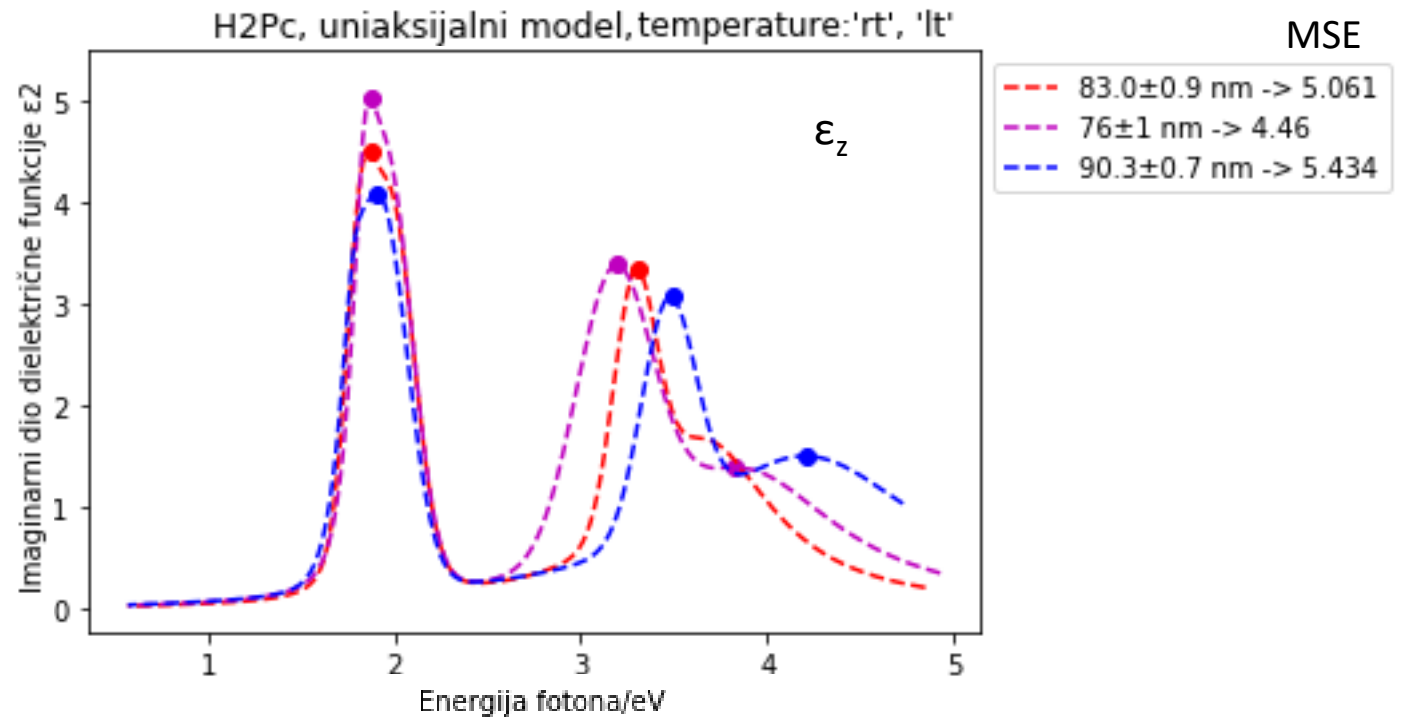
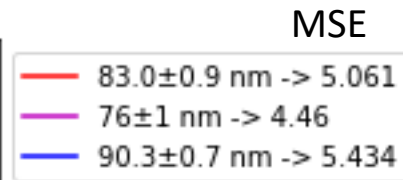
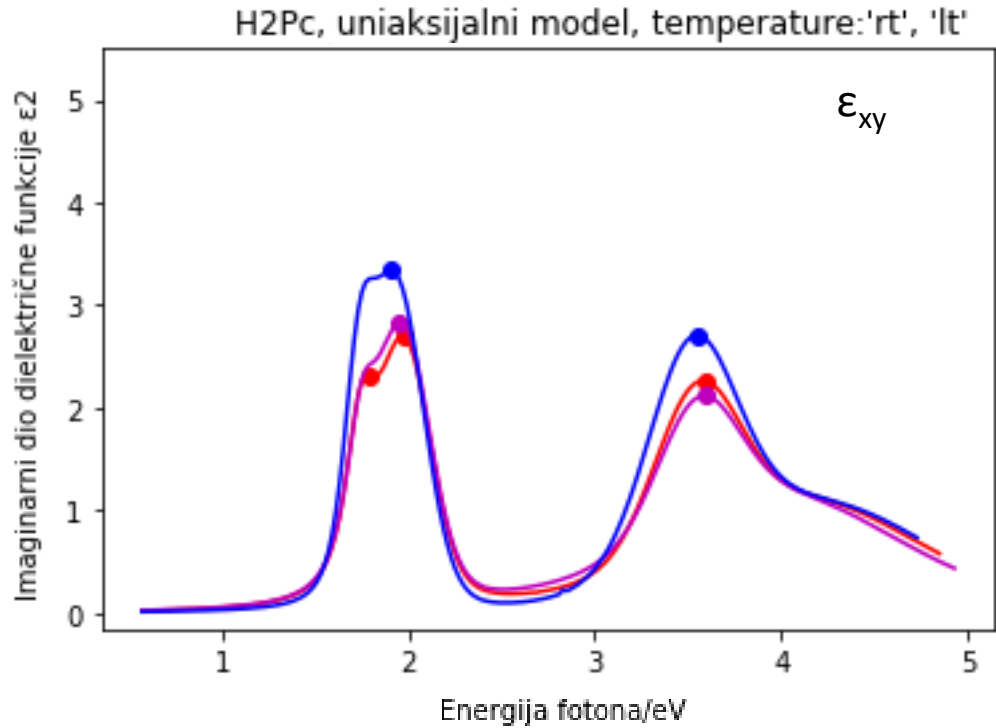
H₂Pc, uniaksijani model: 20°C



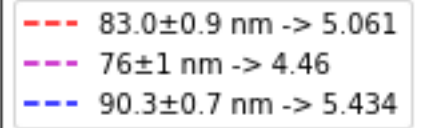
H₂Pc, uniaksijani model: -160°C



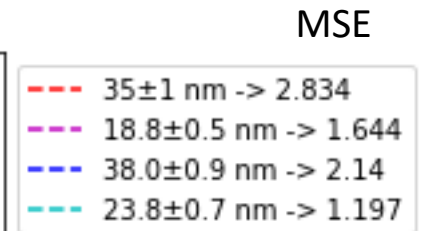
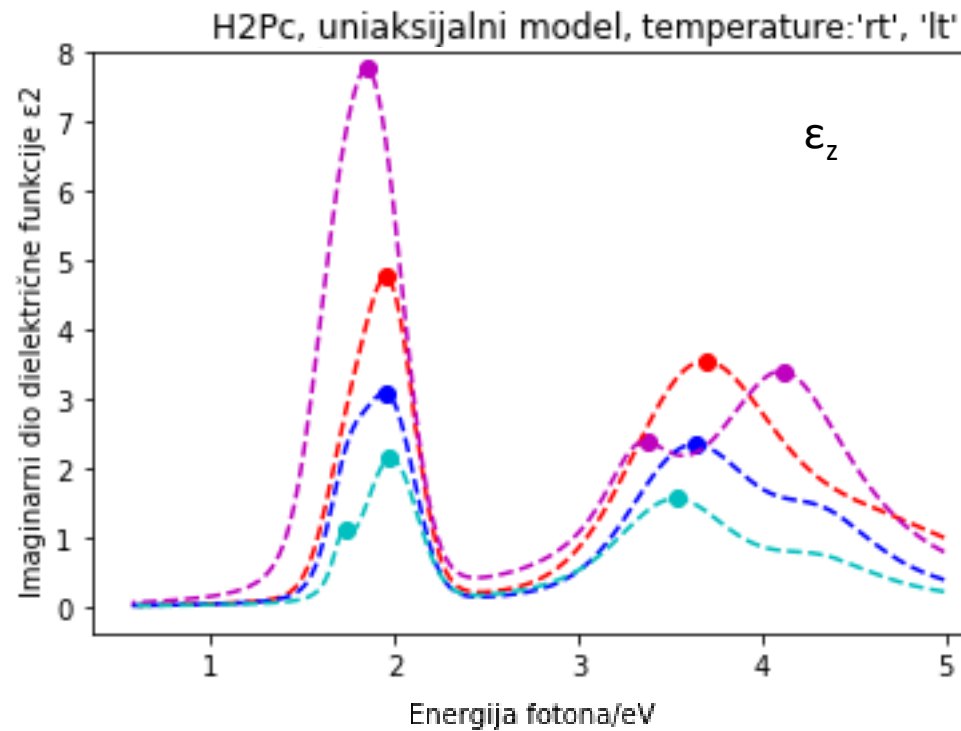
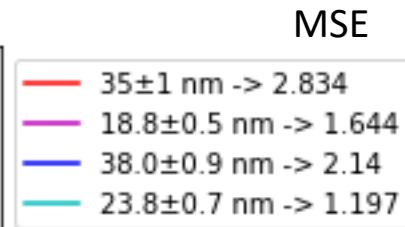
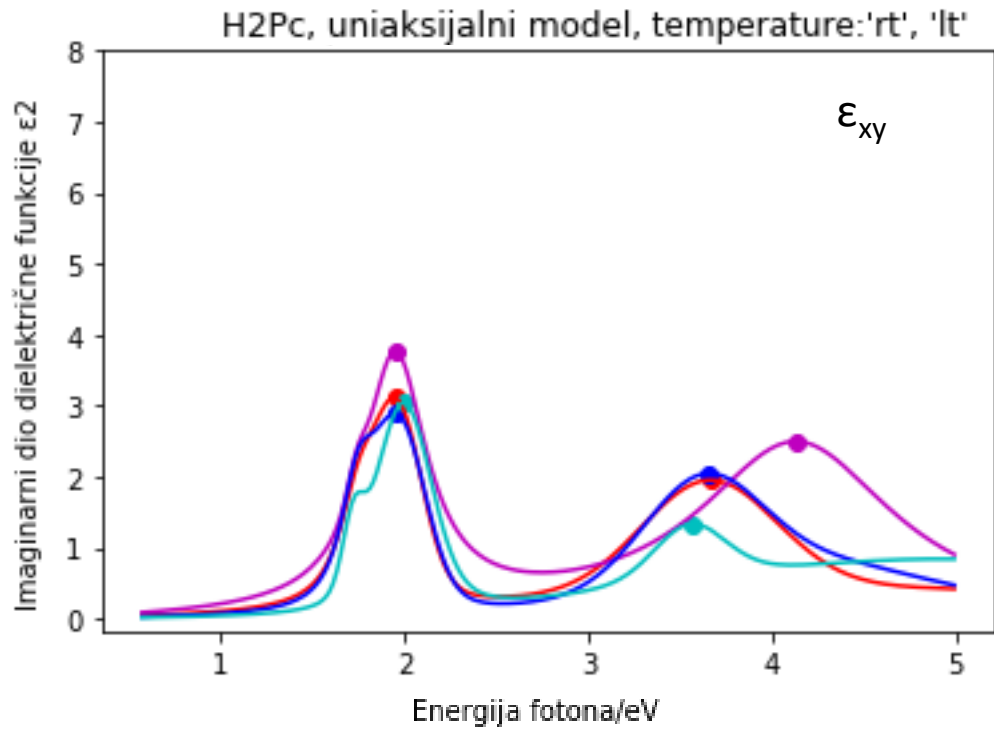
H₂Pc, uniaksijalni model: Deblji slojevi



MSE

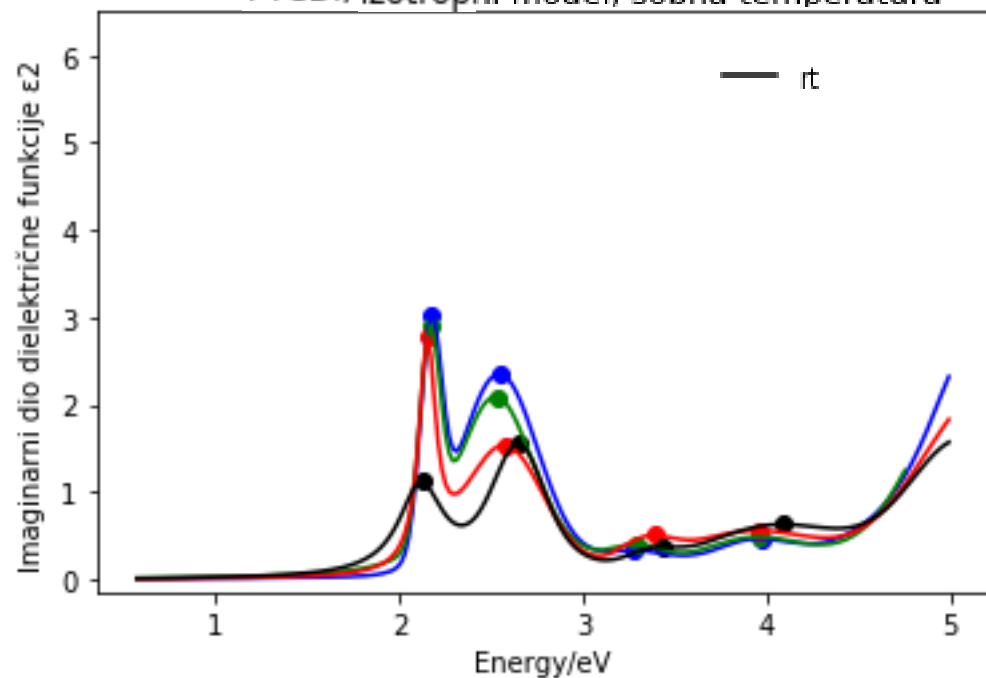


H₂Pc, uniaksijalni model: Deblji slojevi



PTCDI, izotropni model

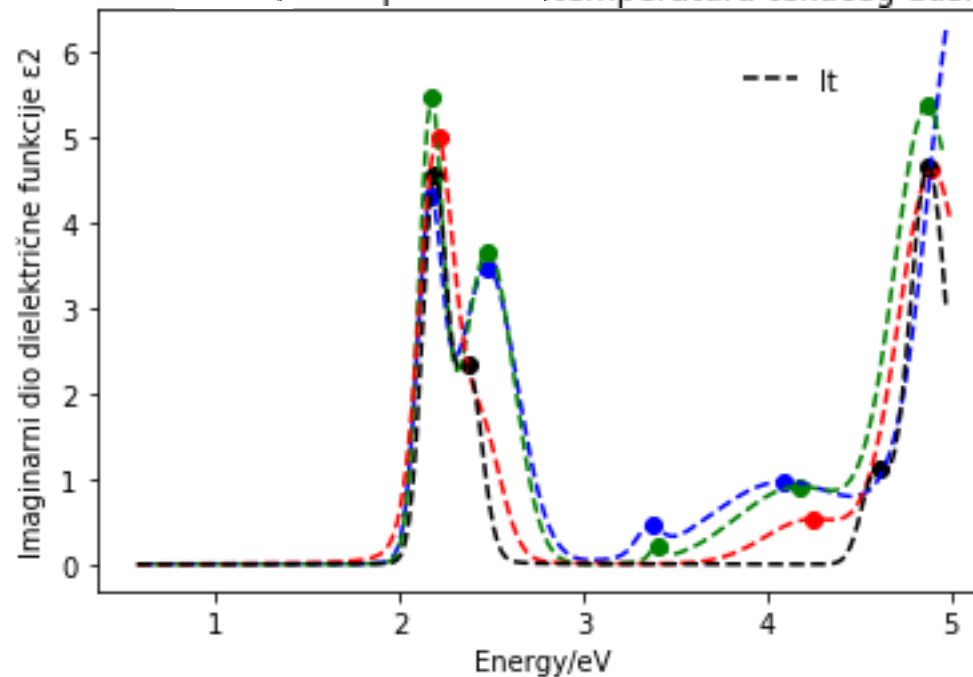
PTCDI, izotropni model, sobna temperatura



MSE

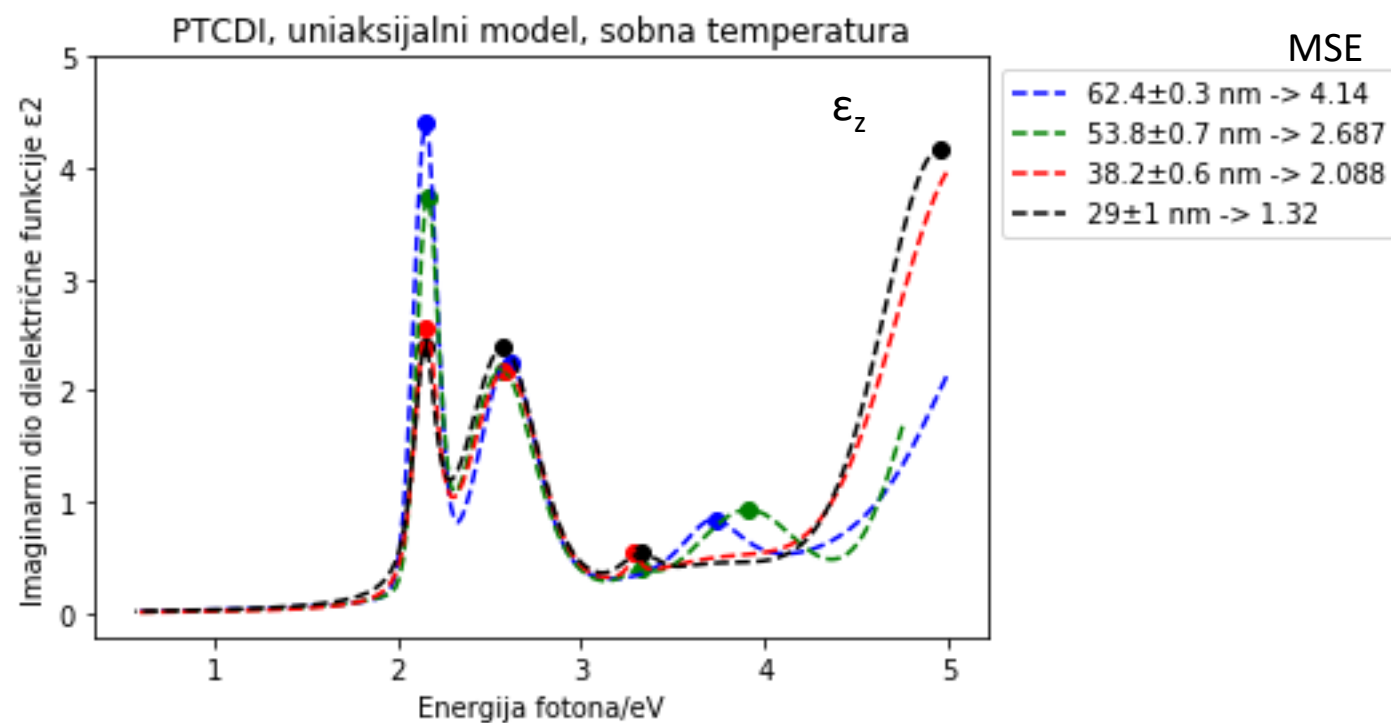
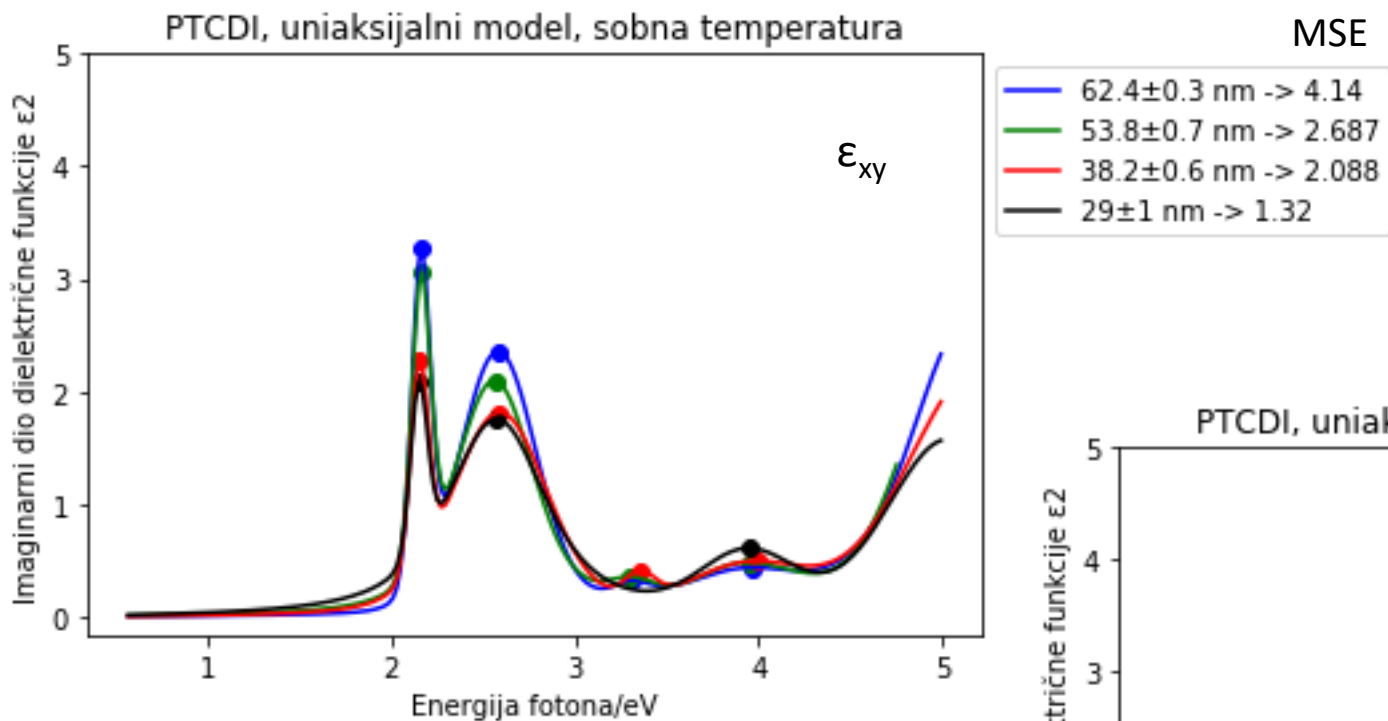
- 63.8 \pm 0.1 nm -> 8.074
- 55.21 \pm 0.07 nm -> 4.158
- 40.64 \pm 0.04 nm -> 3.883
- 31.63 \pm 0.05 nm -> 3.717

PTCDI, izotropni model, temperatura tekućeg dušika

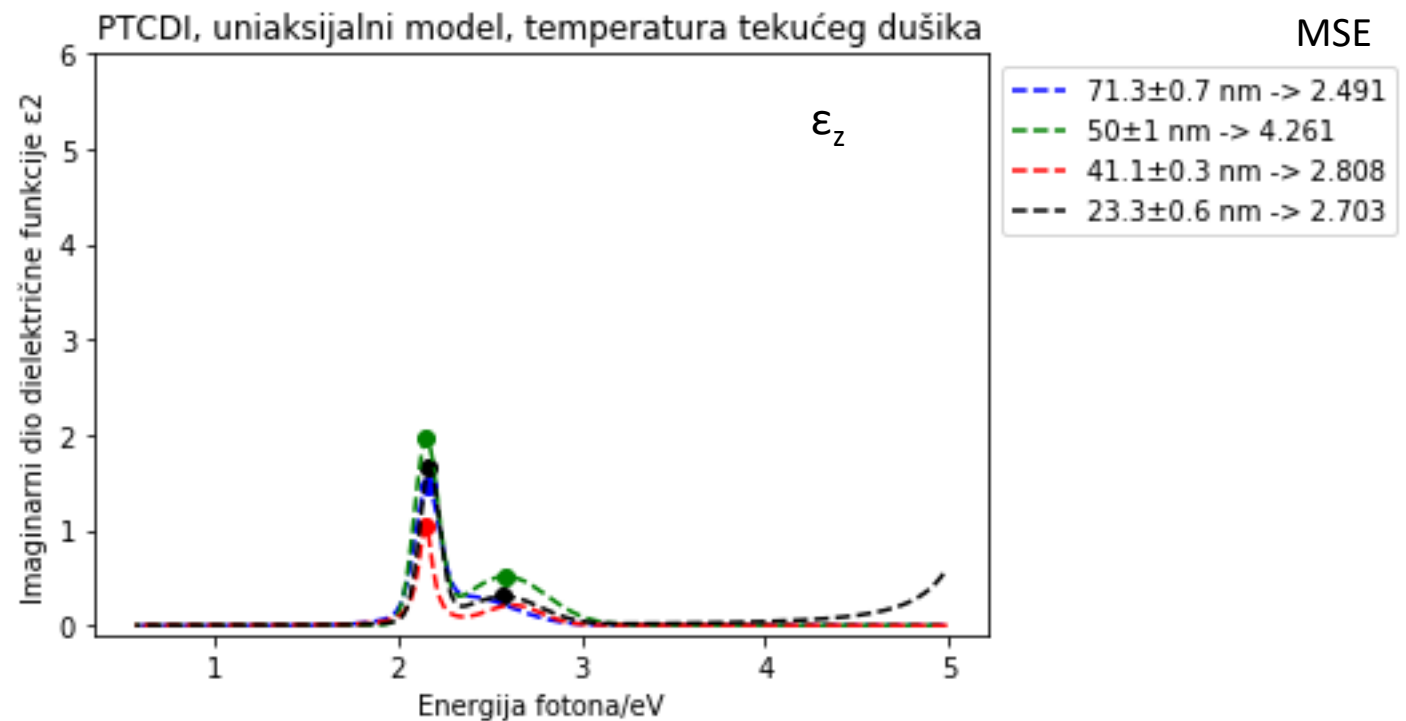
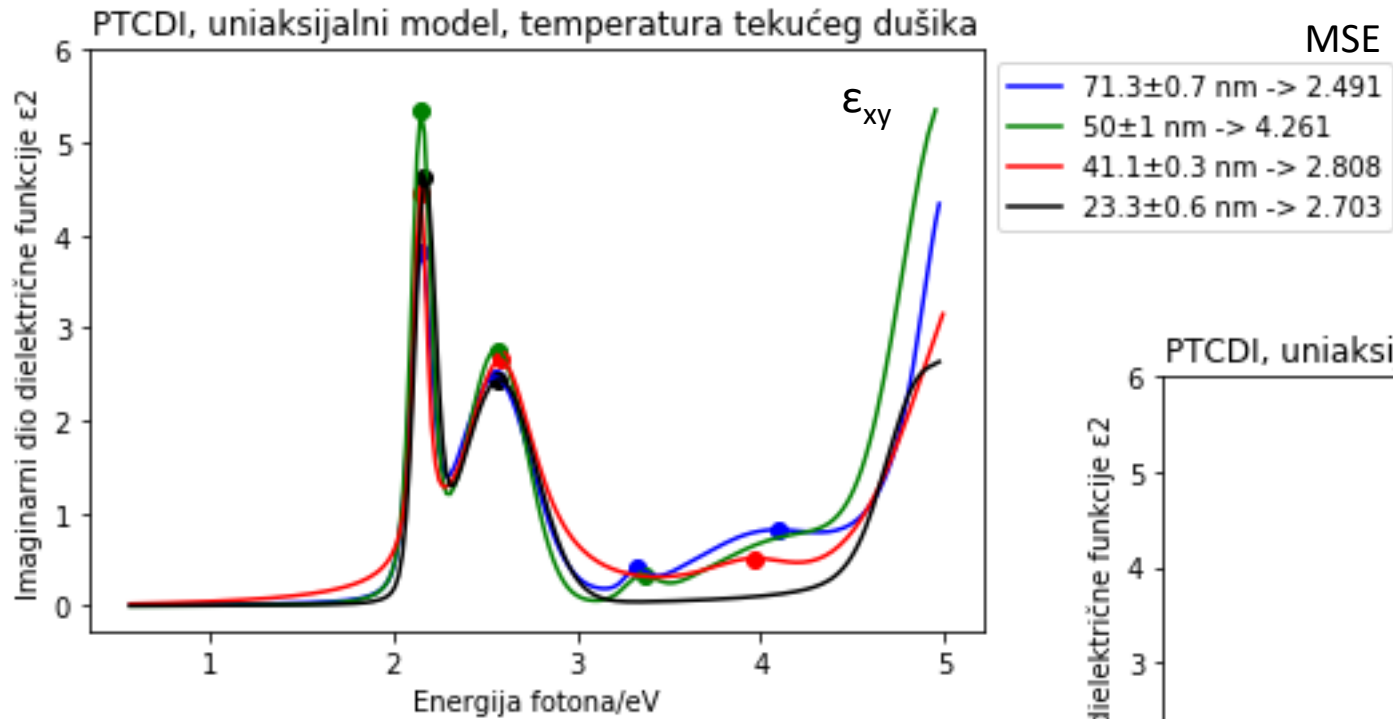


- 59.5 \pm 0.3 nm -> 9.763
- 43.1 \pm 0.2 nm -> 23.43
- 32.8 \pm 0.2 nm -> 23.23
- 20.52 \pm 0.09 nm -> 18.65

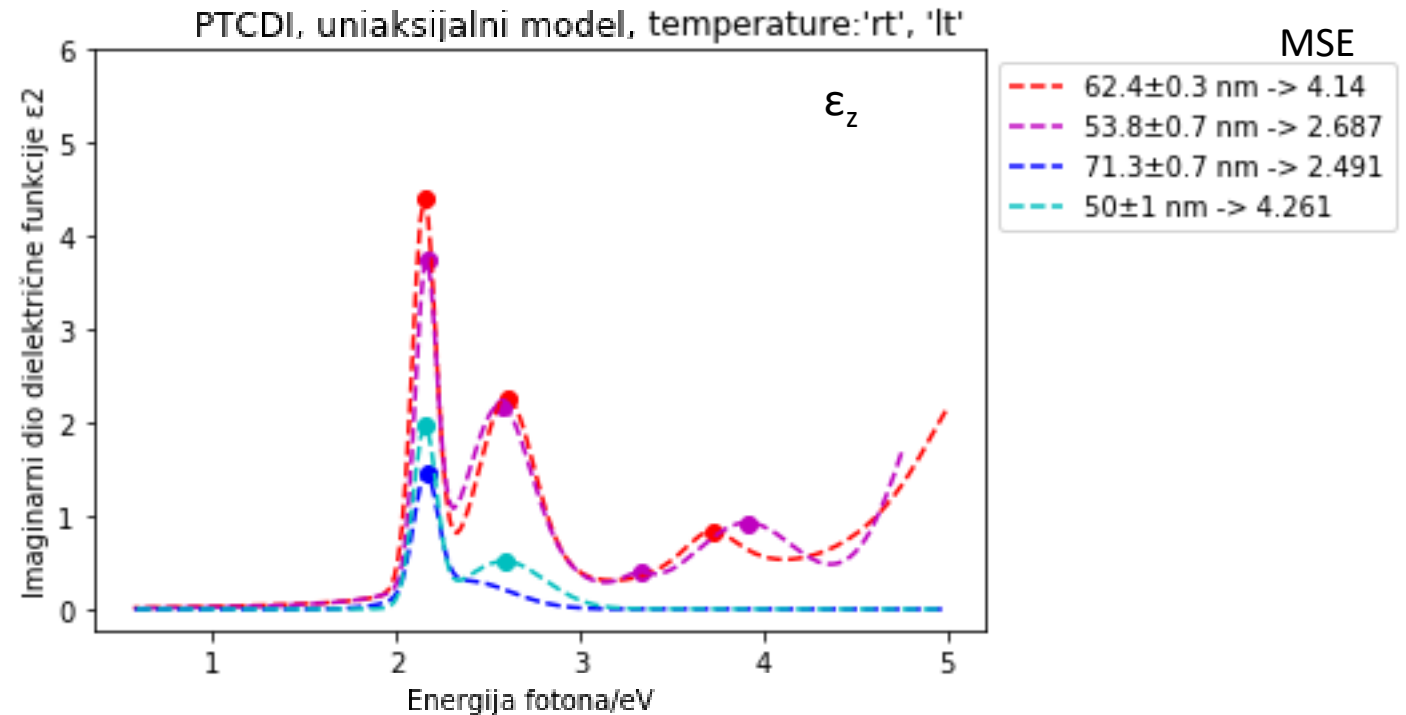
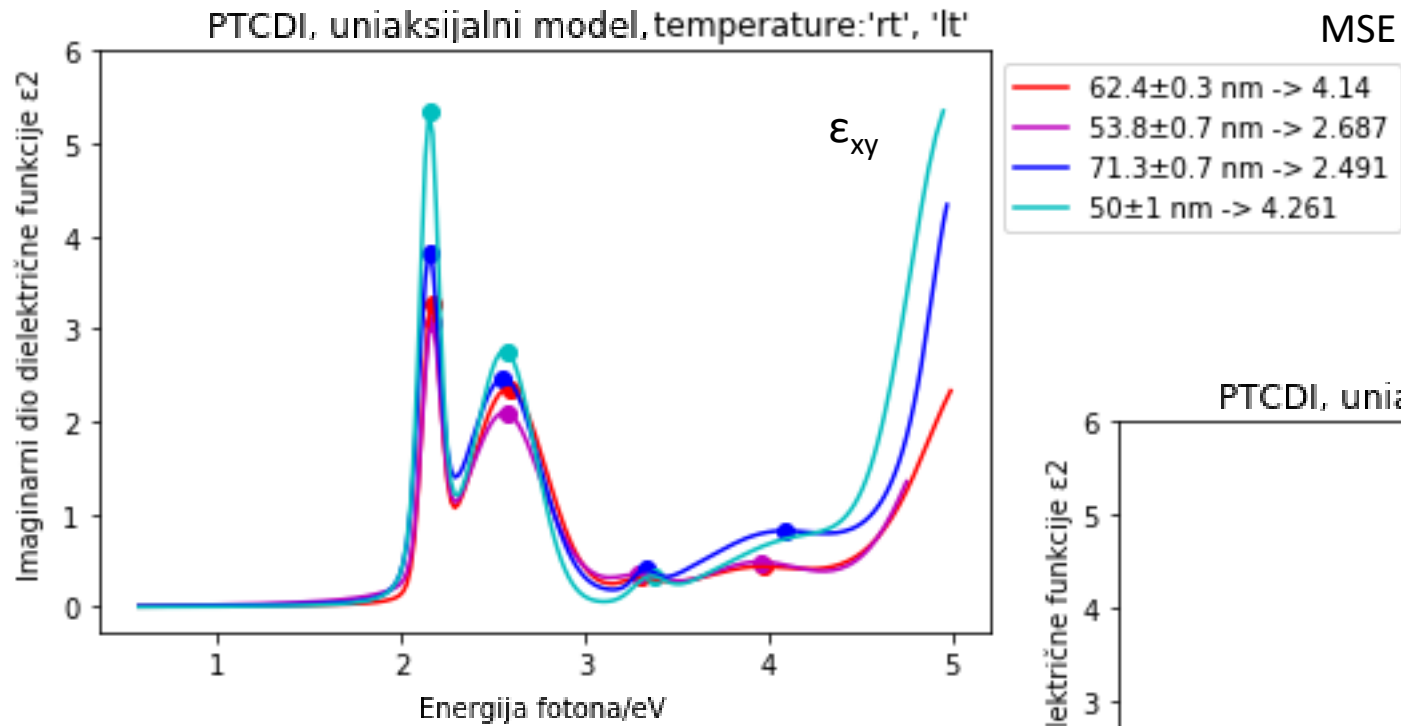
PTCDI, uniaksijalni model: 20°C



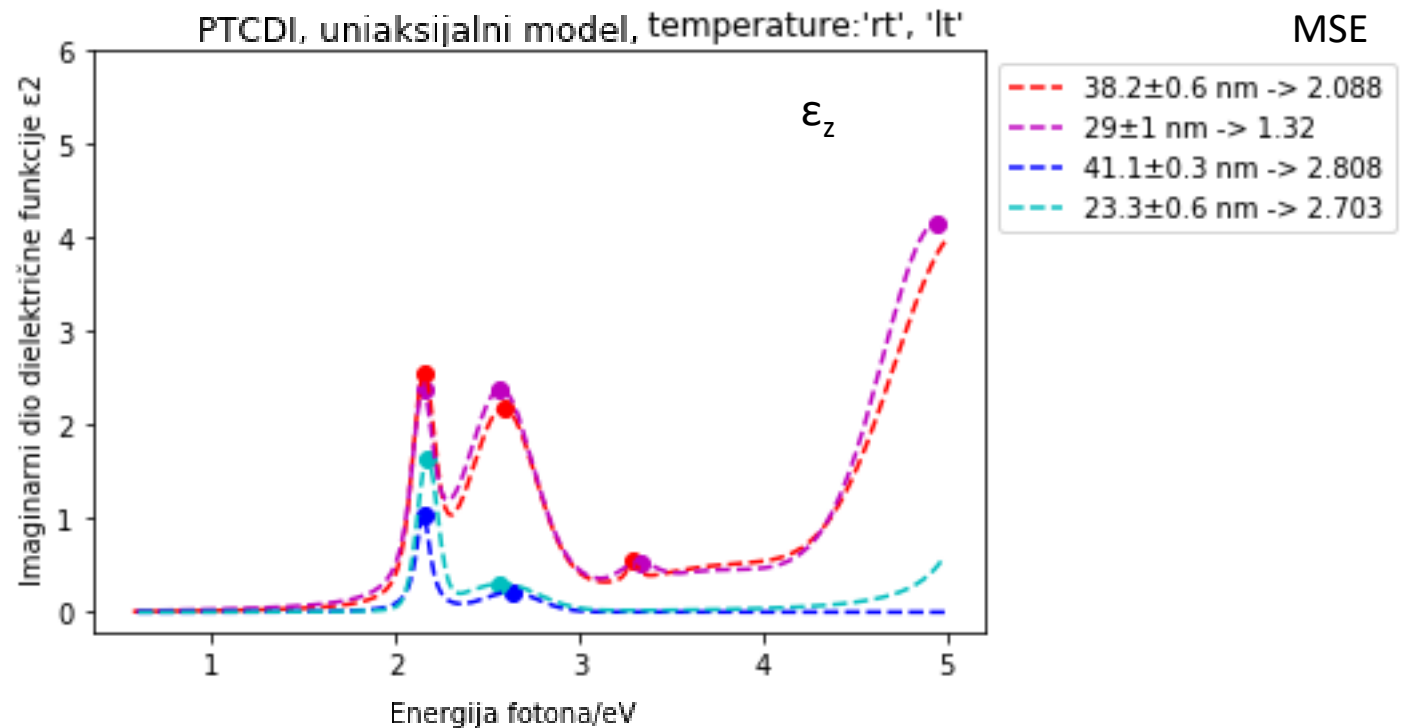
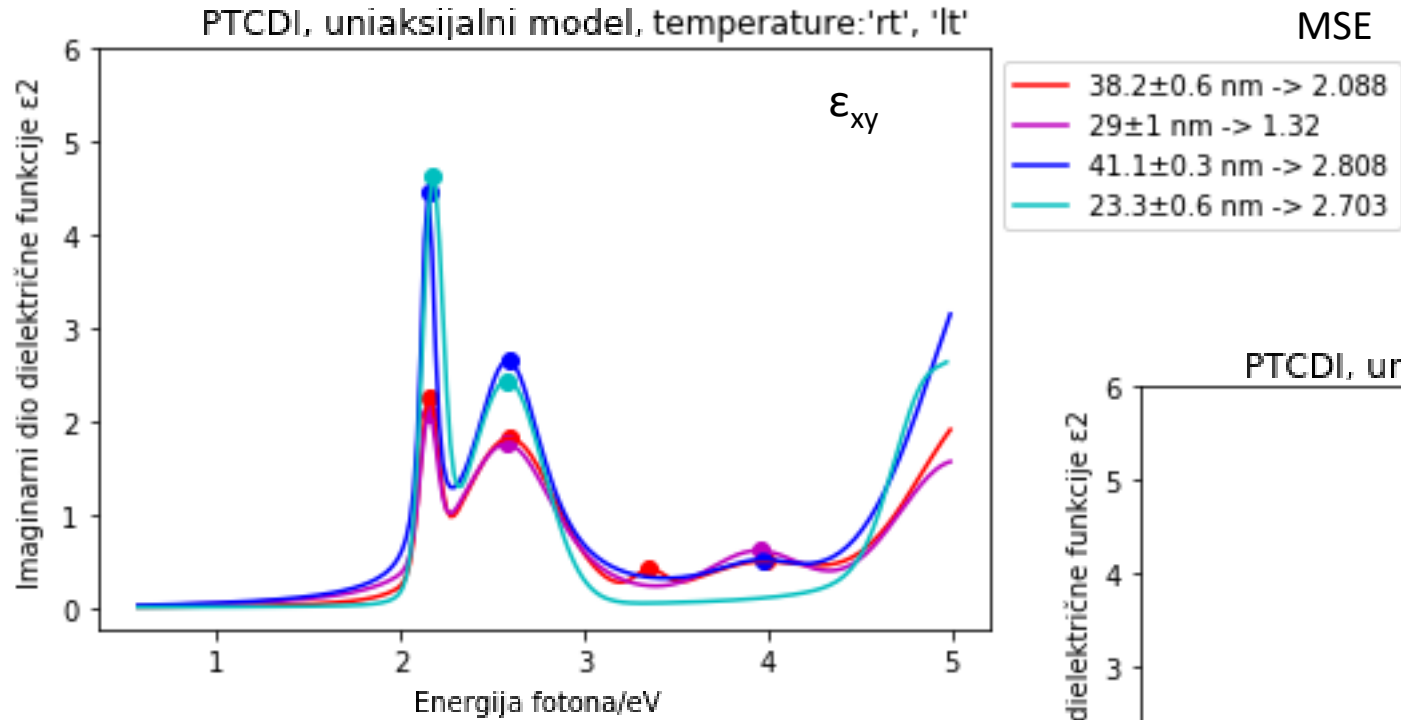
PTCDI, uniaksijani model: -160°C



PTCDI, uniaksijalni model: Deblji slojevi



PTCDI, uniaksijalni model: Tanji slojevi



Zaključak

	H ₂ Pc				PTCDI			
	Debljina ↑				Debljina ↑			
	ϵ_{xy}		ϵ_z		ϵ_{xy}		ϵ_z	
	E	Amp	E	Amp	E	Amp	E	Amp
RT	* B vrpca; ↓	↓	B vrpca; ↓	* ↓	.	↑	.	↑
LT	.	↑	.	↑	.	↑	.	↑

	H ₂ Pc				PTCDI			
	ϵ_{xy}		ϵ_z		ϵ_{xy}		ϵ_z	
	E	Amp	E	Amp	E	Amp	E	Amp
Temp ↑	N	↓	N	↑	.	↓	C vrpca! a!	↑

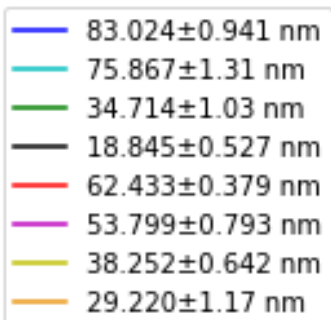
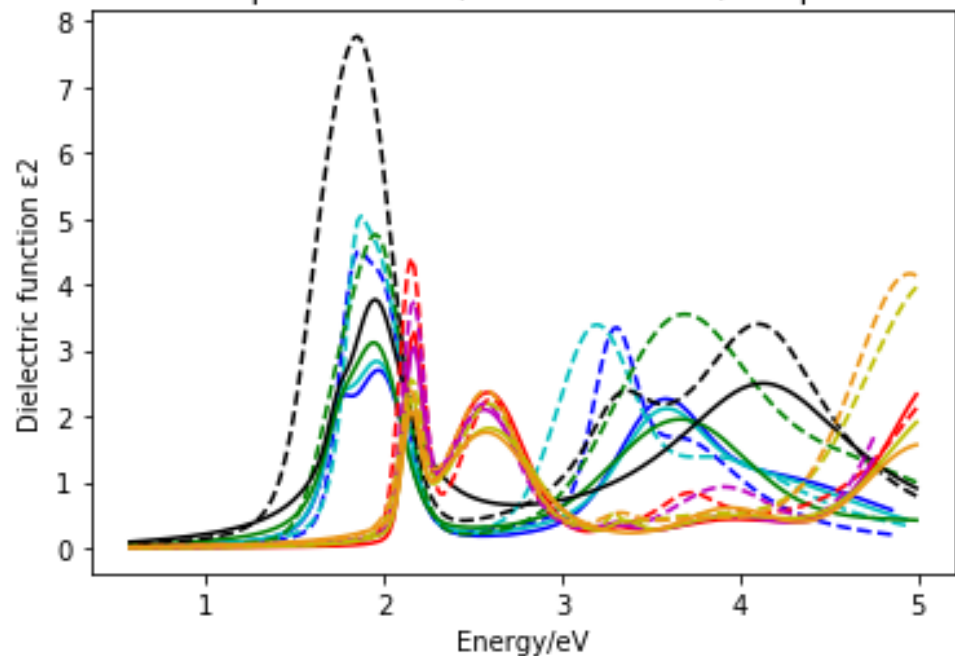
	H ₂ Pc				PTCDI			
	RT		LT		RT		LT	
	E	Amp	E	Amp	E	Amp	E	Amp
→ ⊥	.	↑	.	N	.	↑	C vrpca? a?	↓

Zaključak

- Elipsometrija = moćna metoda za optičku karakterizaciju materijala
- Izotropni model nedovoljan za modeliranje H₂Pc i PTCDI tankih slojeva
- Nužno koristiti anikasijani model
- Zamijećena ovisnost ϵ_{xy} i ϵ_z o debljini i temperaturi za oba materijala
- Veliki utjecaj temperature depozicije na komponentu ϵ_z uzorka PTCDI-a
- Hrapavost u modelu?
- Potvrda modela?

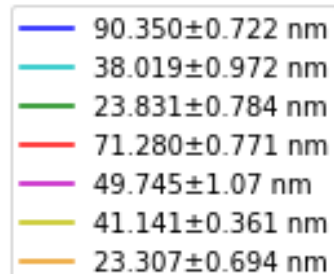
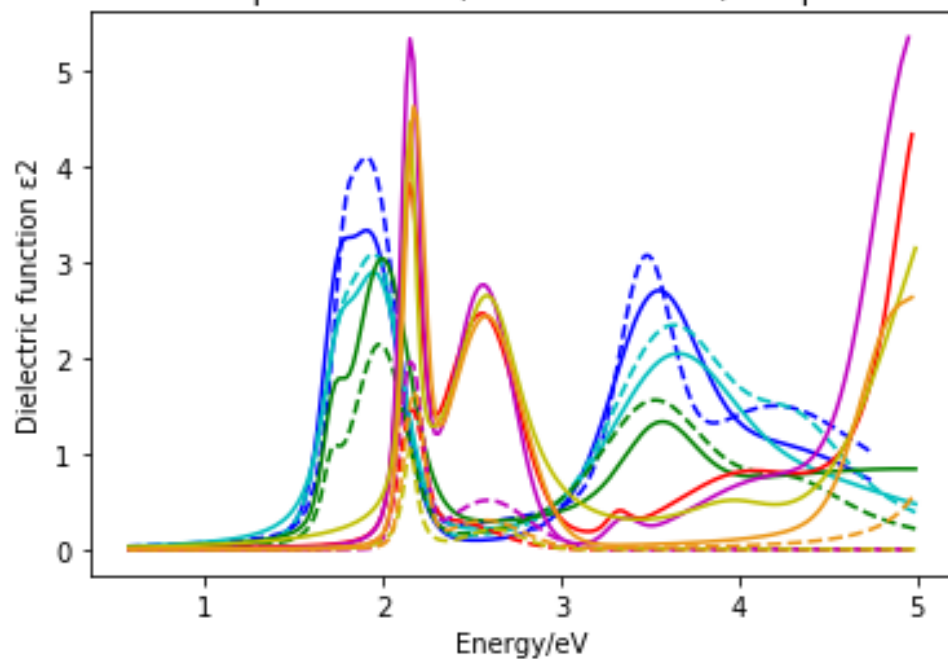
Hvala na pažnji!

Material: H2pc and PTCDI, model: uniaxial, temperature: 'rt'



--- out of plane
— in plane

Material: H2pc and PTCDI, model: uniaxial, temperature: 'lt'



--- out of plane
— in plane